

საქართველოს ტექნიკური უნივერსიტეტი  
სამშენებლო ფაკულტეტი

ახალნორვეგიული მეთოდით მშენებარე  
მიწისქვეშა პიდროტექნიკური ნაგებობების  
სიმტკიცის ანალიზი დირებულების  
მინიმიზაციისა და საიმედობის  
უზრუნველყოფის პირობებში

საქართველოს ტექნიკური უნივერსიტეტის  
საგრანტო პროექტი №41

ნომინაცია - გამოყენებითი

პროექტის ხელმძღვანელი:

ზურაბ გედენიძე

პროექტის მენეჯერი:

გიტალი დვალიშვილი

თბილისი  
2011

## სარჩევი

შესავალი . . . . .	3
1. გვირაბების გაყვანის ახალავსტრიული და ახალნორვეგიული მეთოდები და მათი რეალიზება პიდროტექნიკური გვირაბების მშენებლობისას . . . . .	5
2. მტკვარი ჰესის სადაწნეო დერივაციული გვირაბი . . . . .	11
3. ახლად გამომუშავებული გრუნტის მასივის დაძაბულ- დეფორმირებული მდგომარეობის ანალიზი. . . . .	16
4. გვირაბის დაძაბულ-დეფორმირებული მდგომარეობის ანალიზი სამთო წნევისა და მოკეთების საკუთარი წონის გათვალისწინებით. . . . .	26
5. გვირაბის დაძაბულ-დეფორმირებული მდგომარეობის ანალიზი მოკეთების საკუთარი წონისა და პიდროსტატიკური წნევის გათვალისწინებით. . . . .	39
6. გვირაბის დაძაბულ-დეფორმირებული მდგომარეობის ანალიზი დატვირთვების სრული კომპლექსის (სამთო წნევები, მოკეთების საკუთარი წონა და პიდროსტატიკური დაწნევა) გათვალისწინებით. . . . .	49
დასკვნები. . . . .	58
ლიტერატურა . . . . .	59

## შესავალი

პიდროტექნიკური გვირაბების დაპროექტება და მშენებლობა კლდოვან ქანებში რთული საინჟინრო და, ამავე დროს, სპეციფიკური ამოცანა არის. ეს სპეციფიკურობა გამოიხატება იმაში, რომ ძირითად სამშენებლო მასალას გვირაბების გაყვანისას წარმოადგენს არა ბეტონი, არამედ თვით კლდოვანი ქანები. მათი ფიზიკურ-მექანიკური მახასიათებლები, ფენათა განლაგება, აგრეთვე გრუნტის წყლების ხასიათი ხშირად ბოლომდე გაურკვეველია და თავს იჩენს მხოლოდ გვირაბის გაყვანისას. ამ გაურკვევლობებისგან გამოწვეული პრობლემების გადალახვა, როგორც წესი, ხდება უშუალოდ მშენებლობის პროცესში. სწორედ ამიტომ, გვირაბის გაყვანისა და მოკეთების მეთოდების სწორი შერჩევა ინჟინრების უმთავრესი ამოცანაა.

ბუნებრივია, საქართველოში დღემდე პიდროტექნიკური გვირაბების დაპროექტება და მშენებლობა მიმდინარეობდა და დღესაც მიმდინარეობს იმ ნორმატივების მიხედვით, რომლებიც საბჭოთა კავშირში შემუშავდა. ამ ნორმატივების ბოლო ვერსია იყო СНиП 2.06.09-84 [1].

ხსენებულ ნორმატივებში არ არის ასახული თანამედროვე ტექნოლოგიებით აგებული გვირაბების ანგარიშები. კერძოდ, არ არის ჩამოყალიბებული ახალავსტრიული და ნორვეგიული მეთოდებით აგებული პიდროტექნიკური გვირაბების დაპროექტებისადმი მიდგომა.

ხსენებული მეთოდების უგულველყოფის ერთ-ერთი მიზეზია ამ მეთოდების გამოყენებით ასაგები ნაგებობების დაძაბულ-დეფორმირებული მდგომარეობის პრაქტიკულად შეუსწავლელობა. მათი უსაფრთხო ექსპლუატაცია კი განპირობებულია მათივე სიმტკიცით და საიმედობით, რომლებიც აუცილებლად უნდა დასაბუთდეს თანამედროვე საანგარიშო მეთოდებით.

პროექტის ძირითადი მიზანია საქართველოში მიწისქვეშა პიდროტექნიკური ნაგებობების მშენებლობის პროცესში პროგრესული ნორვეგიული მეთოდის გამოყენების მიზანშეწონილობის დასაბუთება. ხსენებული მეთოდის გამოყენება საქართველოს მიწისქვეშა პიდრომშენებლობაში ჯერ არ მომხდარა, თუმცა, როგორც საერთაშორისო პრაქტიკა ადასტურებს, ის უდავოდ ყველაზე მოწინავეა თანამედროვე პიდრომშენებლობაში. ამ მეთოდის მიხედვით მიწისქვეშა

გამონამუშევრის ბეტონირება, ახალავსტრიული მეთოდის ანალოგიურად, ხდება შეფეხტონის გამოყენებით, მაგრამ ტრადიციული ბეტონის ნაცვლად გამოიყენება ე.წ. ფიბროფოლადბეტონი, რომელშიც ფიბროფოლადის დანამატი ფაქტიურად არმატურის როლს ასრულებს. გარდა ამისა, მეთოდს სხვა ტექნოლოგიური ხასიათის თავისებურებებიც გააჩნია, რომლებიც აგრეთვე იქნება გათვალისწინებული პროექტის რეალიზებისას. მეთოდის დანერგვა საშუალებას მოგვცემს მოვახდინოთ კაპიტალდაბანდების მინიმიზება ნაგებობის მაღალი საიმედობის შენარჩუნებით.

აღნიშნული მიზნის მისაღწევად თანმიმდევრულად იქნა განხილული შემდეგი ძირითადი ამოცანები:

- ახლად გამომუშავებული გრუნტის მასივის დაძაბულ-დეფორმირებული მდგომარეობის ანალიზი და ჩამონგრევის თაღის სავარაუდო ზონების დადგენა;
  - რეალური ჰიდროტექნიკური გვირაბის დაძაბულ-დეფორმირებული მდგომარეობის ანგარიში გრუნტის მასივთან ერთად;
  - ნაგებობების მოკეთების კონსტრუქციის შერჩევა მაღალი სიმტკიცის ფიბროფოლადიანი ნაშეფეხტონების გამოყენებით;
  - პრაქტიკული რეკომენდაციების დამუშავება პროგრესული ნორმებიული მეთოდით აგებული გვირაბების ანგარიშების ჩასატარებლად.
- პროექტის შედეგები საშუალებას მოგვცემს შესამჩნევად შევამციროთ მიწისქვეშა ჰიდროტექნიკური ნაგებობების მშენებლობის ვადები და სამუშაოების შრომატევადობა ტრადიციულ მეთოდებთან შედარებით და, ამავე დროს, შენარჩუნდეს მაღალი საიმედობა.

# 1. გვირაბების გაყვანის ახალავსტრიული და ნორვეგიული მეთოდები და მათი რეალიზება ჰიდროტექნიკური გვირაბების მშენებლობის დროს

მიწისქვეშა ჰიდროტექნიკური ნაგებობები მიეკუთვნება სამთო ტიპის ჰიდროკვანძების განსაკუთრებულად საპასუხისმგებლო ობიექტებს. როგორც წესი, კაპიტალდაბანდებების მნიშვნელოვანი ნაწილი მსხვილი ჰიდროკვანძების მშენებლობაში მოდის სწორედ მიწისქვეშა ნაგებობებზე. ამავე დროს, ჰიდროელექტროსადგურების მშენებლობის ხანგრძლივობა პრაქტიკულად განისაზღვრება მიწისქვეშა ნაგებობების მშენებლობის ხანგრძლივობით. სწორედ ეს ორ ფაქტორი (მშენებლობის დირებულება და ვადები), უფრო სწორად, მათი მაღალი მაჩვენებლები წარმოადგენს პრობლემის არსეს ჩვენს პირობებში. საქმე იმაშია, რომ საქართველოში მიწისქვეშა ნაგებობები (კონკრეტულად გვირაბები) კვლავინდებურად შენდება კონსერვატულად, ქარგილების გამოყენებით, მაშინ, როდესაც ჯერ კიდევ XX საუკუნის სამოციანი წლებიდან მსოფლიოში წარმატებით გავრცელდა ე.წ. ახალავსტრიული მეთოდი, რომელიც ითვალისწინებს გვირაბების მოსახვას ნაშეფბეტონით ქარგილების გარეშე. ამ მეთოდით მშენებლობა საგრძნობლად იაფდება და სრულდება გაცილებით შეკუმშულ ვადებში. ახალავსტრიული მეთოდის ლოგიკური გაგრძელება გახდა ე.წ. პროგრესული ნორვეგიული, ანუ ახალნორვეგიული მეთოდი, რომელიც ითვალისწინებს ნაშეფ ბეტონში ფიბროფოლადის დამატებას არმირების ეფექტის მისაღებად და სხვა ტექნოლოგიურ სიახლეებს.

მოკლედ განვიხილოთ ორივე ზემოდნახსენები მეთოდი.

## ახალავსტრიული მეთოდი

გვირაბების გაყვანის ახალავსტრიული (NATM - The New Austrian Tunneling Method ) ანუ შეფ-ბეტონით მათი მოპირკეთების მეთოდი (SCL – Sprayed Concrete Lining Method) დამუშავდა გასული საუკუნის 50-ანი წლების ბოლოსა და 60-ანი წლების დასაწყისში პროფესორ ლადისლავ ფონ რაბცევიჩისა (Ladislaw von Rabcewicz) და

მისი კოლეგების ლეოპოლდ მიულერის (Leopold Müller) და ფრანც პაჩერის მიერ (Franz Pacher) [2]. გვირაბის გაყვანის ხელშეწყობით მეთოდი განსაკუთრებით ეფექტურია სუსტი და ნახევრადკლდოვანი ქანების შემთხვევაში.

მეთოდის არსი მდგომარეობს იმაში, რომ მაქსიმალურად იყოს გამოყენებული გვირაბის გამონამუშევრის გარემომცველი ქანების ბუნებრივი სიმტკიცე თვით გვირაბის დასაცავად.

როგორც ცნობილია, სამთო წევა, რომელიც წარმოიშობა ძირითადად გვირაბის თაღში და პედლებში, გვირაბის გახსნის შემდეგ პირველ ხანებში უფრო ინტენსიურად იზრდება, ვიდრე შემდგომ პერიოდში, რომლის განმავლობაში ხდება მისი სტაბილიზაცია.

ამ პროცესის ხელშეწყობისათვის ახალაგსტრიული მეთოდი ითვალისწინებს დაახლოებით 25-30 მმ სისქის ტორკრეტის მიშეფებას გვირაბის პერიმეტრზე გაყვანისთანავე და, საჭიროებისამებრ, ანკერული ჩამაგრებების გამოყენებას. ამ მიშეფებულ ფენას თვით ლ. რაბცევიჩი “დამხმარე თაღს” (“Auxiliary Arch”) უწოდებს. დეფორმაციების სტაბილიზაციის შემდეგ ეწყობა გვირაბის მოკეთების შიგა რგოლი, რომელიც ასევე შეიძლება შეეფ-ბეტონით გაკეთდეს და იყოს საჭიროების შემთხვევაში, არმირებული.

ყოველივე ზემოთქმულიდან გამომდინარე, შეიძლება ითქვას, რომ გვირაბების გაყვანის ახალაგსტრიული მეთოდი შემდეგ პრინციპებს:

- გვირაბის გარემომცველი ქანების სიმტკიცის გამოყენება გვირაბის ჩამონგრევისგან დასაცავად;
- შეეფბეტონის გამოყენება გვირაბის პირველად გასამაგრებლად
- გვირაბის დეფორმაციებზე მუდმივი დაკირვება თანამედროვე აპარატურის საშუალებით;
- პირველადი შეეფბეტონის თხელი ფენის გამაგრება ანკერჭანჭიკებით, არმატურის ბადით და ფოლადის წიბოებით.

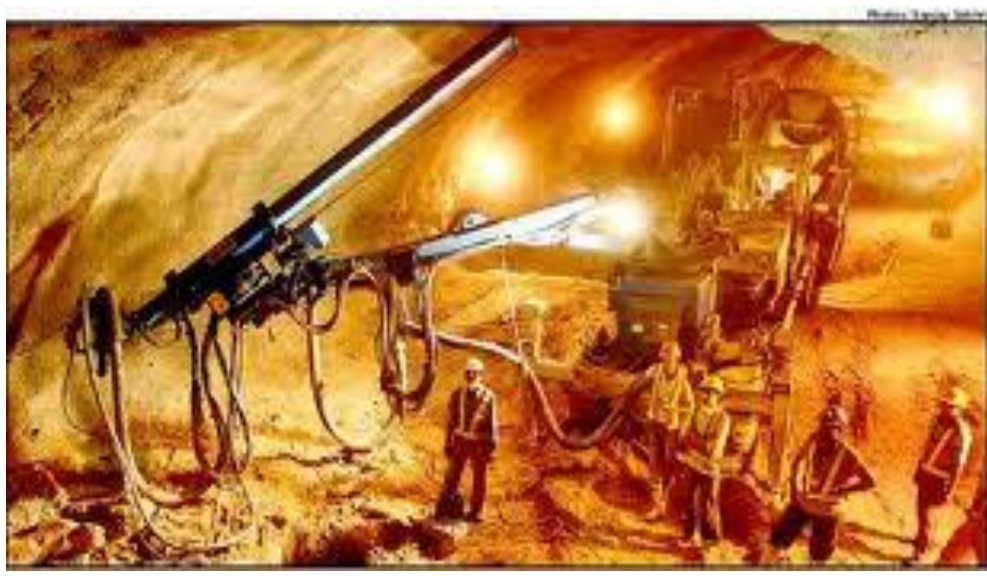
საინტერესოა ის, რომ თვით “ინჟინრებისა და არქიტექტორების ავსტრიული ასოციაცია”, სადაც წარმოიშვა ეს მეთოდი, მის არსე მოკლედ შემდეგნაირად აყალიბებს: “ახალაგხმოვანი მეთოდი გვირაბის გარემომცველი კლდოვანი ქანები ან არაკლდოვანი გრუნტები აღიქმება, როგორც ერთი მოლიანი წრიული ფორმის საყრდენი კონსტრუქცია. ეს დახვენა ეყრდნობა გვირაბის გარემომცველი

ქანების დაძაბული მდგრადარეობის ანალიზს, რომელი აჩვენებს, რომ ამ ქანებს თვით გააჩნიათ საქმარისი საწყისი სიმტკიცე იმისათვის, რომ “ლაიცვას თავისი თავი” ჩამონარევისაგან”.

ნახ.1 და ნახ. 2-ზე ნაჩვენებია ინტერნეტ-სურსებიდან მოპოვებული ორი ფოტო, რომელიც ასახავს ახალავსტრიული მეთოდის რეალურად გამოყენების პროცესს.



ნახ. 1-1. გვირაბის გაყვანა ექსკავატორის საშუალებით



ნახ. 1-2. შეფეხურის გამოყენება გვირაბის გამაგრებისას

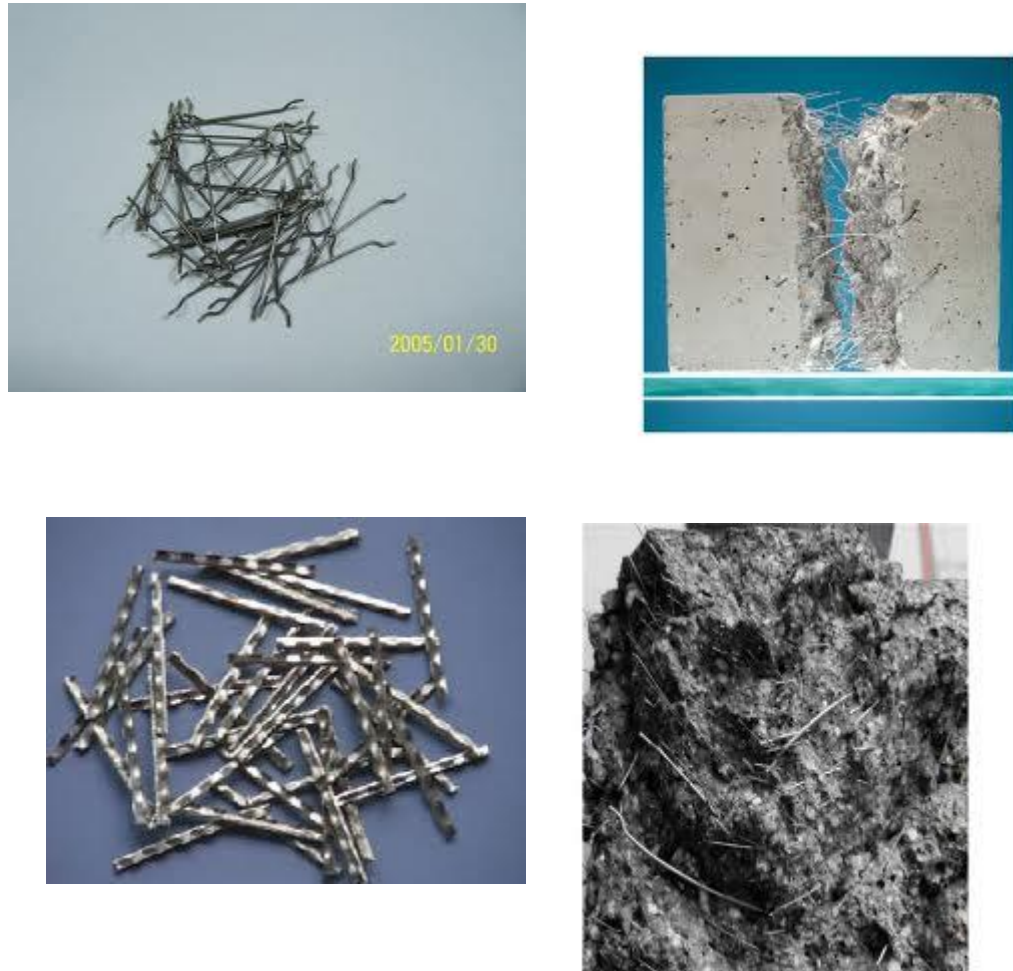
ახალავსტრიული მეთოდით მეთოდით, გარდა სატრანსპორტო გვირაბებისა, ბევრი ჰიდროტექნიკური გვირაბია განხორციელებული. მაგალითისთვის შეიძლება მოვიყვანოთ ავსტრიაში კაუნერტალის (Kaunertal) ჰიდროენერგეტიკულ სქემით განხორციელებული 70 მ სიგრძის და დაახლოებით 4 მ დიამეტრის სადაწნეო ჰიდროტექნიკური გვირაბი, რომელიც უკვე თითქმის 50 წელია შეუფერხებლად ფუნქციონირებს. რამოდენიმე ჰიდროტექნიკური გვირაბი აქვს განხორციელებული ავსტრიაშივე კომპანია “ტიროლერ ვასერკრაფტ”-ს (Tiroler Wasserkraft A.G. Prutz-Imst). ახალავსტრიული მეთოდით არის გაყვანილი ლოდანო-მოსანიო (Lodano-Mosagno) ჰიდროტექნიკური გვირაბი მდ. მაგიაზე (Maggia) შვეიცარიაში და ა.შ. ამჟამად ჩინეთში შენდება 200 კმ სიგრძის და 4,8 მ დიამეტრიც პინგლუს უდაწნეო გვირაბი (Pinglu Tunnel) ძალიან სუსტი გრუნტების პირობებში.

### ნორვეგიული მეთოდი

გვირაბების გაყვანის ნორვეგიული მეთოდი (NMT), რომელსაც ხშირად პროგრესულ ნორვეგიულ ან ახალნორვეგიულ მეთოდს უწოდებენ, პრინციპულად არ განსხვავდება ახალავსტრიული მეთოდისაგან. ეს მეთოდი, როგორც განსაზღვრავს თვით ნორვეგის გვირაბმშენთა ასოციაცია, არის სისტემა, რომელიც ეფუძნება ცოდნას, გამოცდილებას, მოქნილ გადაწყვეტილებებს და რისკის ურთიერთგანაწილებას. ნორვეგიული მეთოდი, განსხვავებით ახალავსტრიული მეთოდისაგან, შეფერხებული იყენებს ფიბროფოლადის დანამატებს, რომლებიც შესამჩნევად აუმჯობესებს ბეტონის თვისებებს, განსაკუთრებით გაჭიმულ ზონებში (ნახ. 1-3).

თანამედროვე პრაქტიკა მიანიშნებს იმაზე, რომ გამაგრებული (ბოჭკოებით ან ფოლადით არმირებული) ნაშეფ-ბეტონის სარტყელებს (RRS) შეუძლიათ ჩაანაცვლონ გვირაბის ტრადიციული მოკეთებანი განსაკუთრებულად სუსტი კლდოვანი ქანების შემთხვევაში. ეს მტკიცდება ასეულობით პრაქტიკული მაგალითით. ბოლო 15 წლის განმავლობაში ნორვეგიულ გვირაბებში ტრადიციული ჩამოსხმული ბეტონის ნაცვლად ბევრ შემთხვევაში გაკეთდა ბოჩკოებით ან ფოლადით არმირებული ნაშეფ-ბეტონის სარტყელები.

გვირაბების გაყვანის ნორვეგიულ მეთოდი გამოირჩევა თანამედროვე ტექნოლოგიების და მანქანა-დანადგარების ფართო გამოყენებით. მაგალითად, ამ მეთოდით გვირაბის გაყვანისას გამოიყენება ოპერატორის მიერ მართული რობოტები, რომლებიც ახდენენ ბეტონის მიშეფვას გამონამუშევრის ზედაპირზე.



ნახ. 1-3. ფიბროფოლადის ნიმუშები და ბეტონის ნიმუშები ფიბროფოლადის  
დანამატებით

ფიბროდანამატების გამოყენებით საკმარისი ხდება მხოლოდ ერთი ფენა ტორკრეტის გამოყენება, რაც ტრადიციული ბეტონის თაღის ლირებულების მხოლოდ ორ მესამედს შეადგენს.

ნორვეგიის გვირაბმშენთა ასოციაციის მონაცემებით ნაშენფბეტონებით გვირაბების მოკეთება, ტრადიციულ მონოლითურ რკინაბეტონის მოკეთებასთან შედარებით, საშუალებას იძლევა სამუშაოთა შესრულების ვადები შემცირდეს დაახლოებით ორჯერ, ხოლო სამუშაოთა დირებულება 20-დან 50%-იდე. მაგალითისთვის შეიძლება მოვიყვანოთ პიდროკვანი ინდოეთში მდ. თექსტაზე ქ. სიქიმთან ახლოს, სადაც გათვალისწინებული იყო სადაწნეო გვირაბის ( $L=17\text{ მ}, D=9,5\text{ მ}$ ) მოპირკრთება ტრადიციული მეთოდით 30 სმ სისქის რკინაბეტონის კონსტრუქციით. ნორვეგიული მეთოდის გამოყენებით გვირაბის მოკეთება შესრულდა ძირითადათ ნაშენფბეტონის გამოყენებით. კერძოდ, გვირაბის სიგრძის 56% მოკეთებული იქნა მინიმალური სისქის (50 მმ) ნაშენფბეტონით, 17% ანკერული გამაგრებით და (50-90) მმ ნაშენფბეტონით, 22% კი (100-150) მმ ფიბრონაშენფბეტონით და მხოლოდ 5% ტრადიციული მეთოდით.

ცხრ. 1-ში მოყვანილია კიდევ ართი მაგალითი ნორვეგიული მეთოდის უპირატესობისა. მასში მოცემულია რკინაბეტონით ტრადიციული მოკეთებისა და ფოლადის ბოჭკოებით არმირებული ნაშენფბეტონით მოკეთების დანახარჯების შედარება ვანჯუნჰუის (Wanjunhui) სარკინიგზო გვირაბის გაგალითზე (ერთი გრძივი მეტრი)

ცხრილი 1

მოკეთების ტიპი	გრუნტის გამოღება		მუდმივი სამაგრი		დროებითი სამაგრი		საყალი ბო სამუშაო	ანკერებით გამაგრება		jamuri Rirebule ba USD
	მოც.	ფასი	მოც.	ფასი	მოც.	ფასი		ფასი	რაოდენ ობა	
tradiciali	98.4	2232	14.0 5	1367	1.81	93	47	68.63	72	3811
naSxef betoni	84.1	1906	4.15	635	0			183.52	193	2734

როგორც გხედავთ, ამ შემთხვევაში, ნორვეგიული მეთოდის გამოყენება დაახლოებით 1000 დოლარით ამცირებს 1 გრძივი მეტრი გვირაბის დირებულებას ტრადიციულ მეთოდთან შედარებით.

გარდა ამისა, ფოლადის ბოჭკოებით არმირებული ნაშეფბეტონი აუმჯობესებს ტრადიციულ ბეტონის შემდეგ თვისებებს [3]:

- საწყისი სიმტკიცე                              ↑ 50 %
- სიმტკიცე კუმშვაზე                              ↑ 20 %
- სიმტკიცე გაჭიმვაზე                              ↑ 30 %
- სიმტკიცე გაჭიმვაზე დუნგის დროს      ↑ 100 %
- სიმტკიცე გაჭიმვაზე ხლეჩვის დროს      ↑ 65 %
- დინამიკური სიმტკიცე                              ↑ 2000 %

ნორვეგიული მეთოდის ფართოდ გავრცელებაში თავისი როლი შეასრულა კლდოვანი ქანების კლასიფიკატორმა, ანუ ე.წ. Q – სისტემამ, რომელიც შექმნეს ნორვეგიის გეოტექნიკური ინსტიტუტის სპეციალისტებმა [4]. ეს სისტემა ეხმარება ინჟინრებს ზუსტად ამოირჩიონ კლდოვანი ქანების გამაგრების ტიპი და ხარისხი ყოველი კონკრეტული პროექტისათვის კონკრეტულ გეოლოგიურ პირობებში. სწორედ ხსენებული Q – სისტემა და ფიბროფოლადის ტორკრეტი წარმოადგენს იმ თავისებურებას, რომელიც ნორვეგიულ მეთოდს განასხვავებს ახალავსტრიული მეთოდისაგან.

## 2. მტკვარი ჰესის სადაწნეო დერივაციული გვირაბი

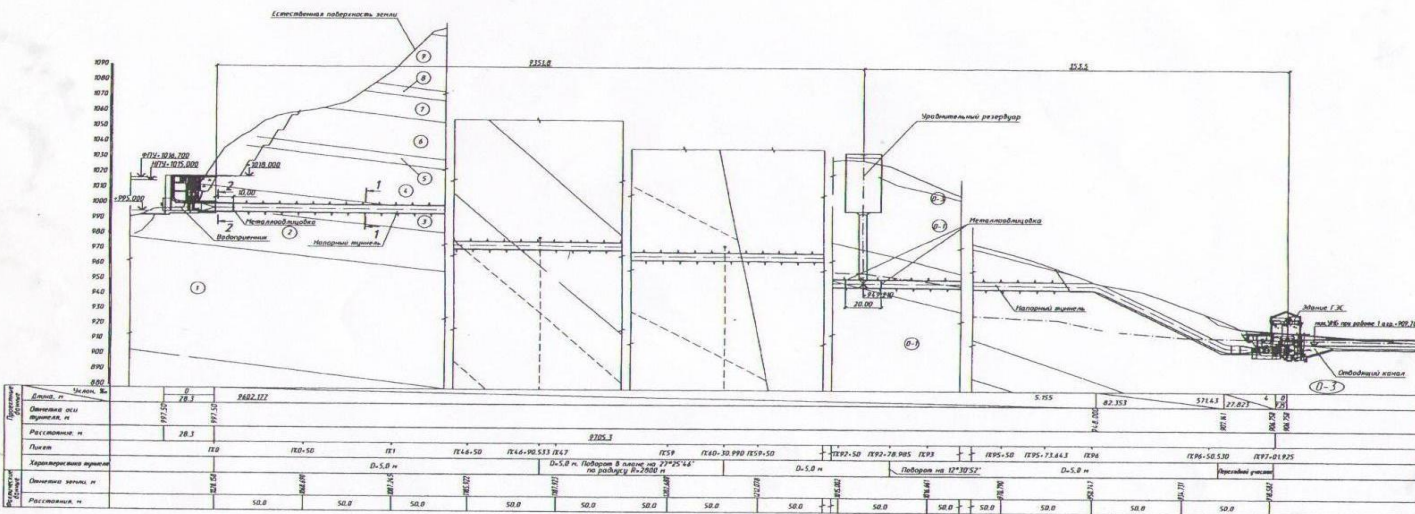
პროექტის ძირითადი მიზნის მისაღწევად, შესასწავლ ღია მტკვარი და ადგებული იქნა მშენებარე მტკვარი ჰესის  $L=9,6$  კმ სიგრძის სადაწნეო დერივაციული გვირაბი, რომლის საპროექტო დიამეტრი  $d=5,0$  მ. თვით მტკვარი ჰესის კომპლექსის სქემატური გეგმა მოცემულია ნახ. 2-1-ზე, ხოლო გრძივი კვეთი სადაწნეო ტრაქტის ღერძზე კი ნახ. 2-2 - ზე

წინასწარ ჩატარებული საინჟინრო-გეოლოგიური გამოკვლევების ანალიზის საფუძველზე დადგენილია, რომ გვირაბის განლაგების ზოლი აგებულია შუა და ზედა ეოცენის კლდოვანი და ნახევრადკლდოვანი გრუნტებით, ანდეზიტებით, ქვიშაქვებით, ტუფებით და არგილიტებით. საინჟინრო-გეოლოგიური გამოკვლევების დეტალური ანალიზის საფუძველზე დადგენილია, რომ გვირაბის ტრასა განლაგებულია სუსტ, საშუალო და მდგრად ქანებში.

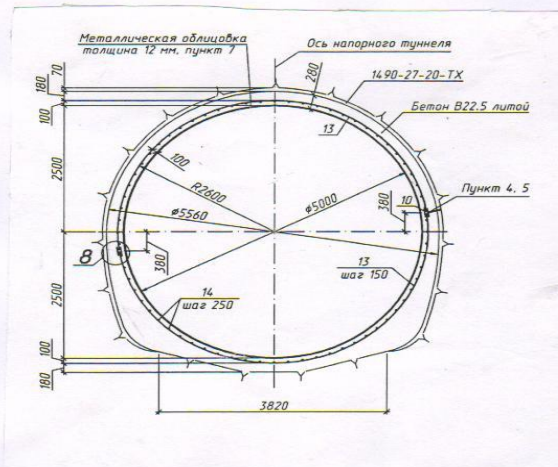
დაძაბულ-დეფორმირებული მდგომარეობის საანგარიშოდ შერჩეული იქნა გვირაბის განივი კვეთი გარემომცველ ქანებთან ერთად, გამთანაბრებული რეზერვუარის უშუალო სიახლოვეს. მოკეთებული (ახალგაყვანილი) გვირაბის საპროექტო ვარიანტის დიამეტრია 570.0 სმ., ხოლო მოკეთებული გვირაბის – 500.0 სმ. მოკეთების სისქე არის 28.0 სმ. გვირაბის ძირში ორივე მხარეს მოკეთების სისქე თითქმის ორმაგდება. მოკეთების შიდა ზედაპირიდან 10.0 სმ-ის სიღრმეზე პროექტით გათვალისწინებულია წრიული არმირება 150.0 სმ-იანი ბადის ბიჯით. მოკეთებისთვის დაგეგმილია B22.5 მარკის ბეტონის გამოყენება, ხოლო შიდა ზედაპირზე ლითონის მოპირკეთებაა გათვალისწინებული. კვეთის გეომეტრიული ზომები, არსებული პროექტის მიხედვით, მოცემულია ნახ. 2-3 – ზე.



ნახ. 2-1. მტკვარი პესის კომპლექსის სქემატური გეგმა [5]



ნახ. 2-2. გრძივი კვეთი მტკვარი ჰესის სადაწნეო ტრაქტზე



ნახ. 2-3. მტკვარი პესის სადაწნეო გვირაბის განივიძეთი გამთანაბრებელ  
რეზერვუართან

გვირაბის კვეთის ზონაში არის მწვანე მასიური საშუალო- და მსხვლფრაქციანი ტუფები – 54%, რომელშიც დია ნაცრისფერი და ნაცრისფერი წვრილფრაქციანი ქვიშაქვების ჩართვები და ლინზები – 34%, აგრეთვე ნაცრისფერი და ყავისფერ- ნაცრისფერი არგილიტების თხელი (1.0 - 15სმ) ფენების (12%) და ნაცრისფერი წვრილი და საშუალოფრაქციული ქვიშაქვების პაკეტებია (0.1 – 2.0 მ). სიმაგრის კოეფიციენტი  $f = 4.1$ .

### 3. ახლად გამომუშავებული გრუნტის მასივის დაძაბულ- დეფორმირებული მდგომარეობის ანალიზი

შემოთავაზებული გვირაბის დაძაბულ-დეფორმირებული მდგომარეობის საანგარიშო სქემა რამდენიმე საფეხურიანია. მათი თანმიმდევრობა ზუსტად ასახავს მშენებლობის რეალურ პროცესს გვირაბის გაყვანიდან ექსპლუატაციაში შესვლის ჩათვლით.

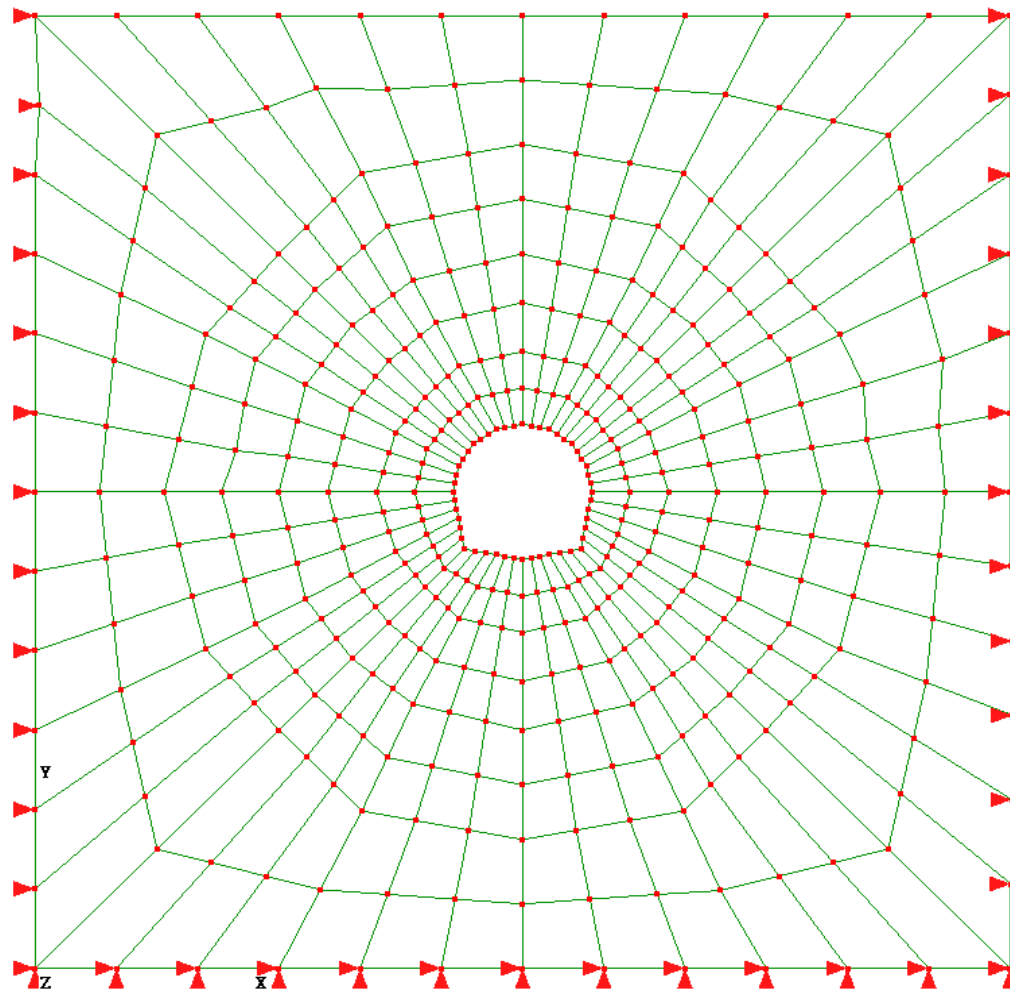
ანალიზის პირველ საფეხურზე იანგარიშება გრუნტის მასივი გაყვანილი გვირაბის გარშემო (მოკეთების გარეშე). ანგარიშის მიზანია დადგინდეს რამდენად არის შესაძლებელი გვირაბის გარემომცველი ქანების მდგრადობის დაკარგვა ნაშეფბეტონით გამაგრებამდე.

ანგარიშები ჩატარდა პროგრამული კომლექსი LISA –ს საშუალებით, რომლის თეორიული ალგორითმი ეფუძნება სასრული ელემენტების მეთოდს.

საანგარიშო სქემა მოცემულია ნახ. 3-1-ზე. ის წარმოადგენს სწორკუთხედს, რომლის შუაში არის გაყვანილი გვირაბის შესაბამისი დიამეტრის ( $d=5,7$  მ) სიცარიელე. სწორკუთხედის ზომებია  $40 \times 40$  მ. სქემა დაყოფილია 384 სწორკუთხა ელემენტად, რომლებიც ერთმანეთთან გაერთიანებულია 432 კვანძის საშუალებით. გვირაბის დერძის დონიდან გრუნტის თავისუფალ ზედაპირამდე მანძილი 85 მეტრია ( $\nabla 1030.00 - \nabla 945.00$ ).

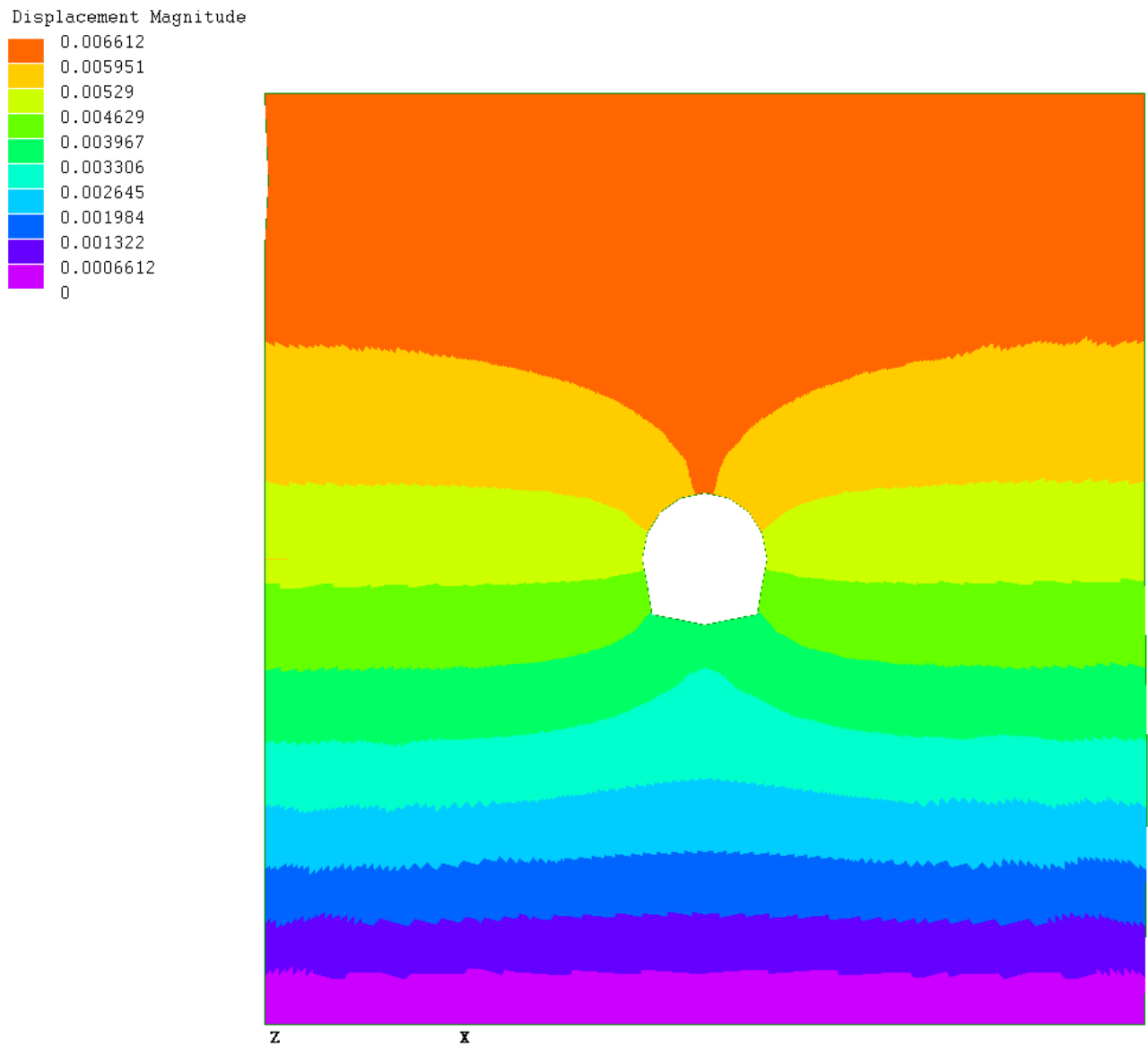
სასაძღვრო პირობები შემდეგნაირია: მარცხნიდან და მარჯვნიდან სქემის საზღვრებში განლაგებული 24-ვე კვანძის გადაადგილებები შეზღუდულია (ხისტად არის ჩამაგრებული) X დერძის მიმართულებით, ხოლო ფუძეში განლაგებული 13 კვანძის გადაადგილებები კი შეზღუდულია ორივე, X და Y დერძების მიმართულებით. სქემის ზედა საზღვრის 11-ვე კვანძი თავისუფალია.

საანგარიშო სქემა დატვირთულია მხოლოდ გვირაბის გარემომცველი გრუნტების წონით. მათი (მასიური საშუალო- და მსხვლფრაქციანი ტუფები ქვიშაქვების ჩანართვებით და ლინზებით) საანგარიშო ფიზიკურ-მექანიკური მასასიათებლებად შემდეგი სიდიდეებია აღებული: დრეკადობის მოდული –  $E = 2.850.000 \text{ GPa}$ ; პუსონის კოეფიციენტი  $\nu = 0,2$ , მოცულობითი წონა  $\gamma = 2,4 \text{ GPa}$ .

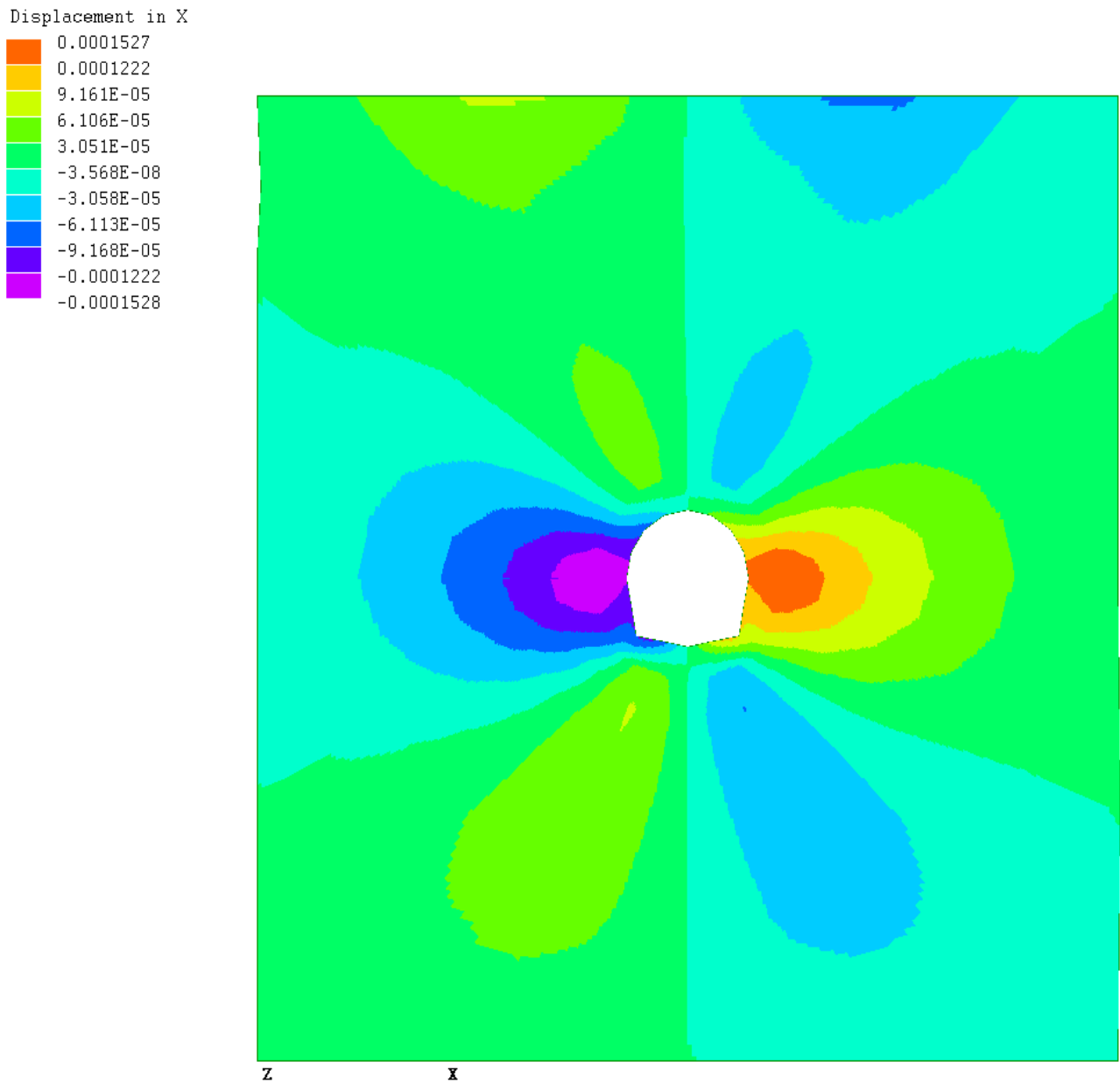


ნახ. 3-1. გვირაბის გარემომცველი მასივის საანგარიშო სქემა მოკეთების გარეშე (კვანძების რიცხვი  $M=432$ , ელემენტების რიცხვი  $N=384$ )

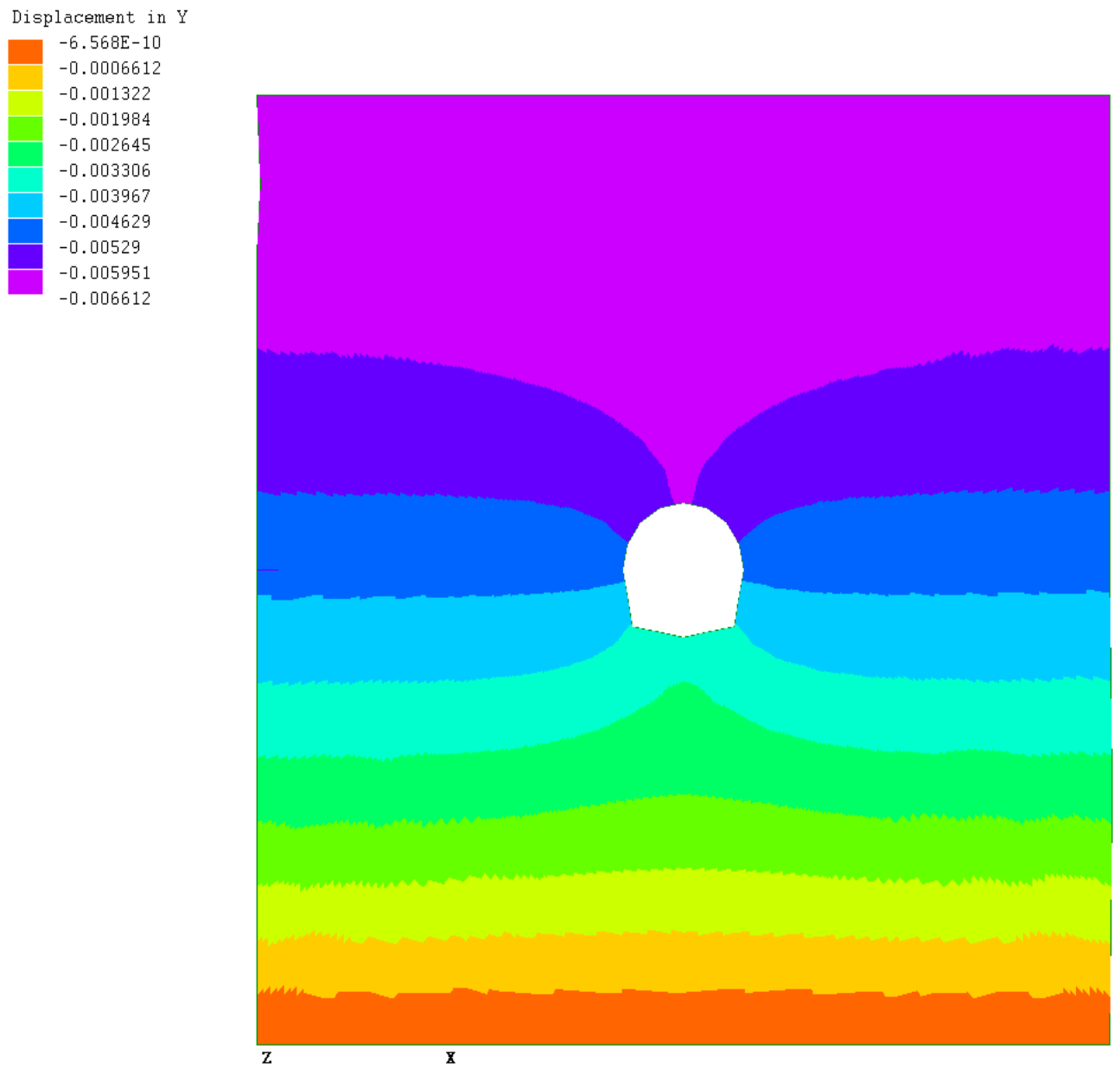
ნახ. 3-2 დან ნახ. 3-9 -ის ჩათვლით მოცემულია ანგარიშის შედეგები, კერძოდ, საკვანძო წერტილების გადაადგილების მაგნიტუდები, ჰორიზონტალური და ვერტიკალური გადაადგილებები, ძაბვების კომპონენტები და მთავარი ძაბვები.



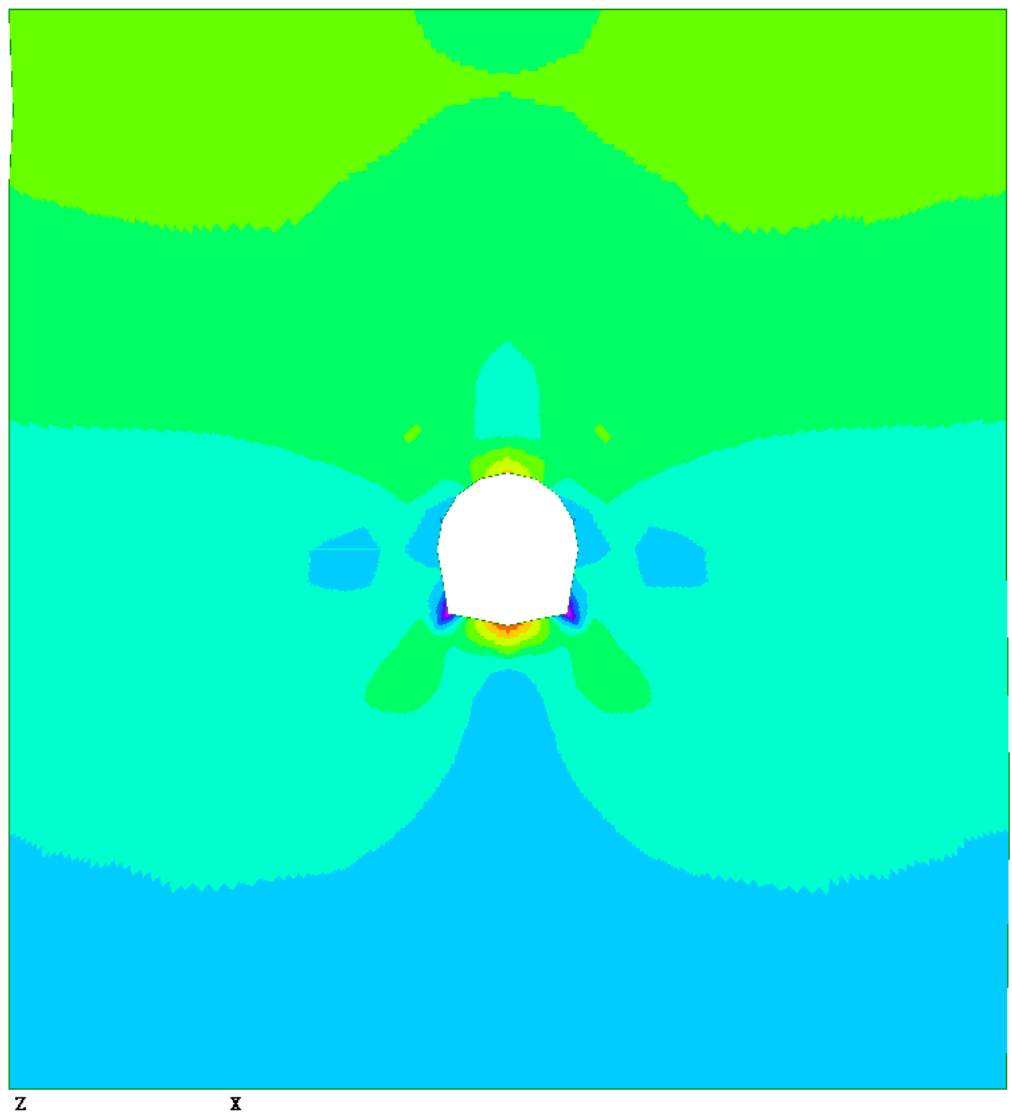
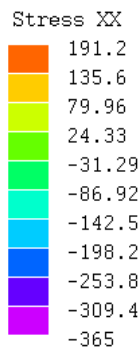
ნახ. 3-2. გვირაბის გარემომცველი ქანების გადაადგილებათა მაგნიტუდების იზოზონები (გადაადგილებების მნიშვნელობები მოცემულია მუტრულში)



ნახ. 3-3. გვირაბის გარემომცველი ქანების პორიზონტალურ (X მიმართულებით)  
გადაადგილებათა იზოზონები (გადაადგილებების მნიშვნელობები მოცემულია  
ძეგლებში)



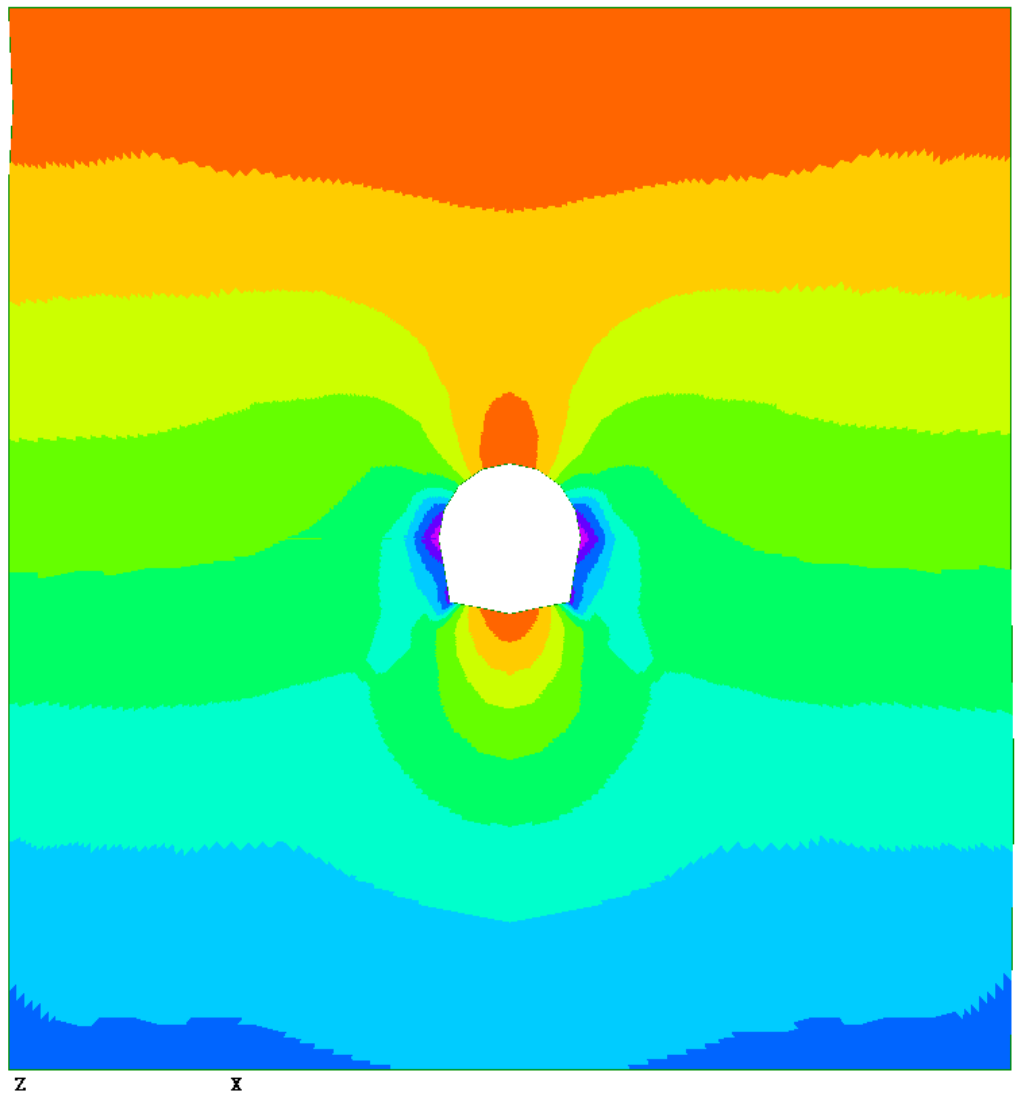
ნახ. 3-4. გვირაბის გარემომცველი ქანების პორიზონტალურ (Y მიმართულებით)  
გადაადგილებათა იზოზონები (გადაადგილებების მნიშვნელობები მოცემულია  
მეტრებში)



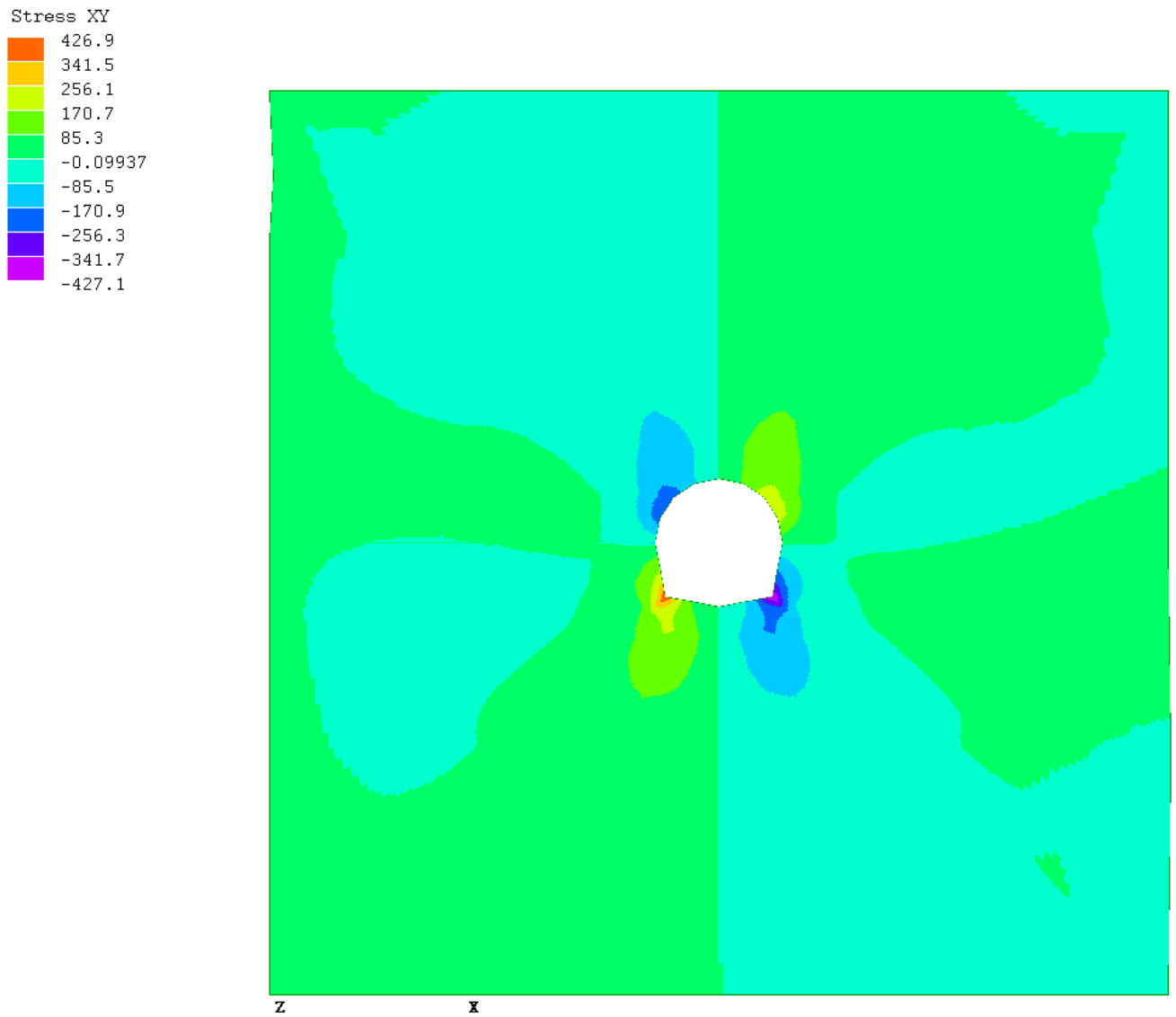
ნახ. 3-5. გვირაბის გარემომცველი ქანებში  $\sigma_x$  ძაბვების იზოზონები (ძაბვების  
მნიშვნელობები მოცემულია  $\delta/\theta^2 = 30$ )

Stress YY

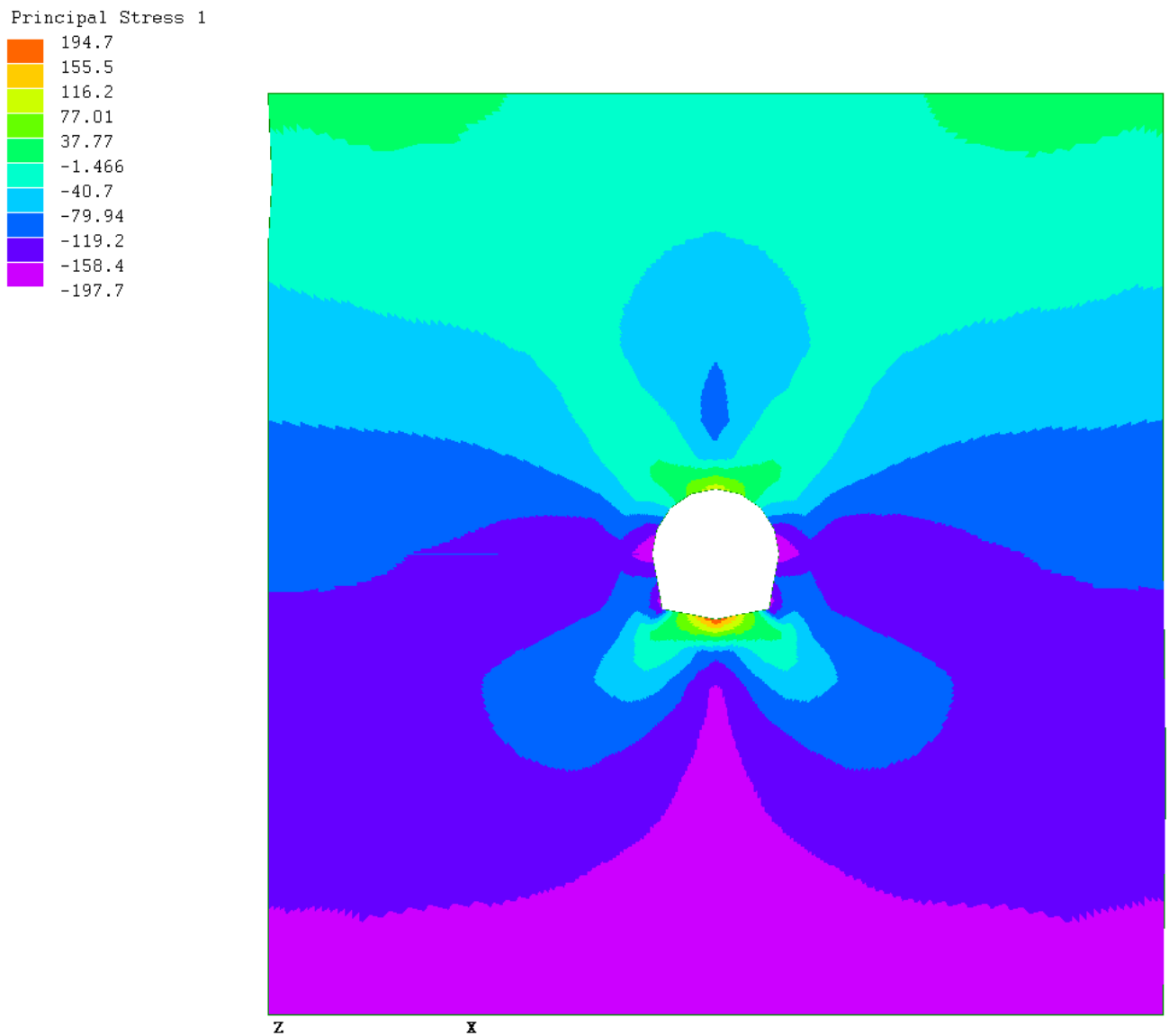
	-28.29
	-148.4
	-268.5
	-388.7
	-508.8
	-628.9
	-749
	-869.1
	-989.3
	-1109
	-1230



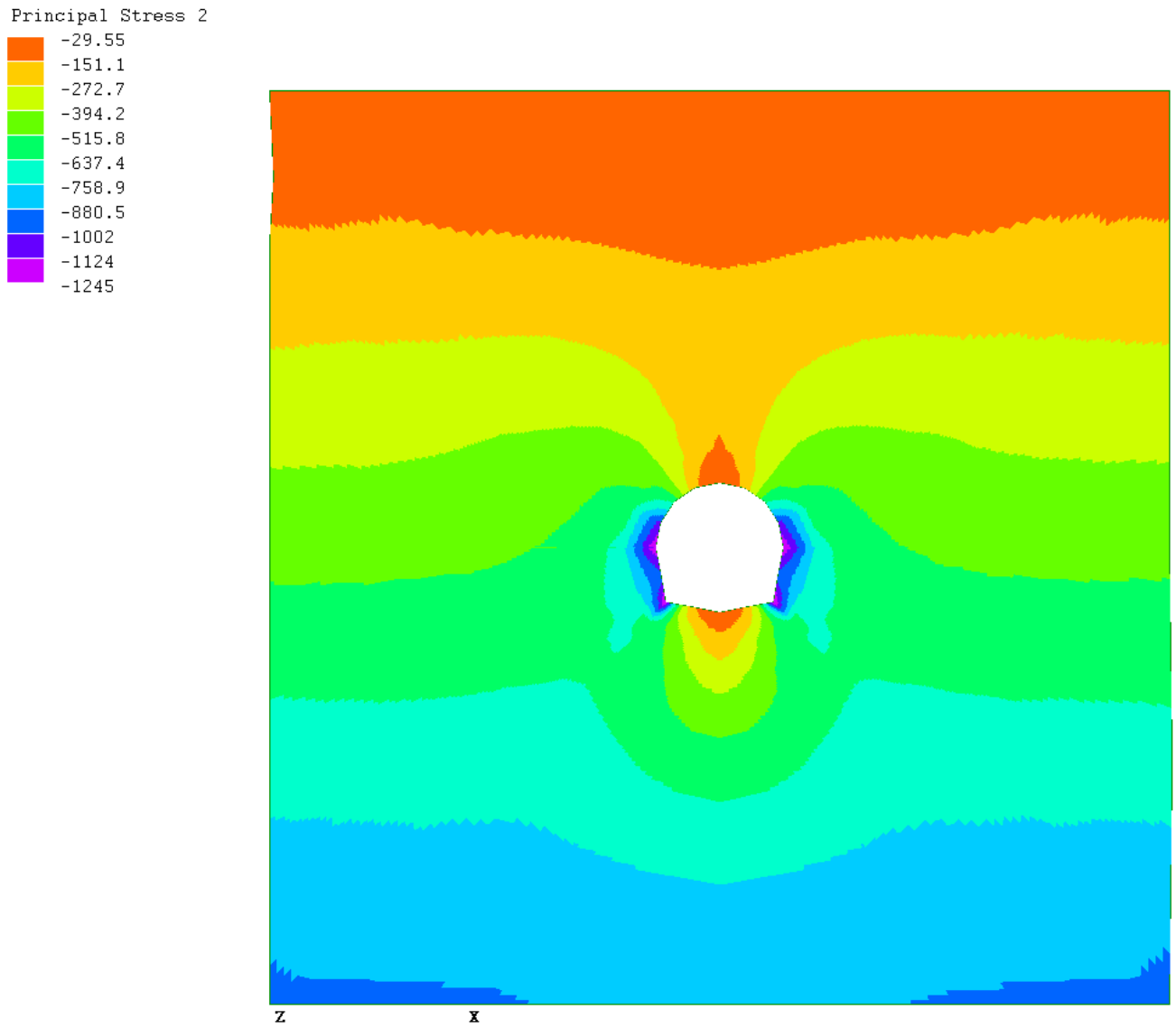
ნახ. 3-6. გვირაბის გარემომცველი ქანებში  $\sigma_y$  ძაბვების იზოზონები (ძაბვების  
მნიშვნელობები მოცემულია  $\delta/\delta^2 = \delta_0$ )



ნახ. 3-7. გვირაბის გარემომცველი ქანებში  $\tau_{xy}$  ძაბვების იზოზონები (ძაბვების  
მნიშვნელობები მოცემულია  $\delta/\theta^2 - \theta_0$ )



ნახ. 3-8. გვირაბის გარემომცველი ქანებში მთავარი  $\sigma_1$  ძაბვების იზოზონები  
(ძაბვების მნიშვნელობები მოცემულია  $\delta/\theta^2 - \theta$ )



ნახ. 3-9. გვირაბის გარემომცველი ქანებში მთავარი  $\sigma_2$  ძაბვების იზოზონები  
(ძაბვების მნიშვნელობები მოცემულია  $\delta/\theta^2 - \beta$ )

მიღებული შედეგების ანალიზმა აჩვენა, რომ გვირაბის გარემომცველი ქანების არცერთ ზონაში ძაბვების მნიშვნელობები არ აჭარბებს საშუალო- და მსხვლფრაქციანი ტუფების სიმტკიცის ზღვარს არც კუმშვაზე, არც გაჭიმვაზე ( $R_\delta = \sim -410 \text{ კგ/სმ}^2 (4100 \text{ } \delta/\theta^2)$  და  $R_\beta = \sim 40 \text{ კგ/სმ}^2 (400 \text{ } \delta/\theta^2)$ ). გვირაბის კონტურზე და მის უშუალო სიახლოეს არ დაფიქსირდა გამჭიმავი ნორმალური და მთავარი ძაბვები, გარდა მცირე მონაკვეთისა გვირაბის ფუძის ცენტრში და მის სიახლოეს:

ჰორიზონტალური ნორმალური ძაბვა  $\sigma_x = 8,0 - 19,0$  კგ/სმ<sup>2</sup> და მთავარი ძაბვა  $\sigma_1 = 7,7$  და  $19,5$  კგ/სმ<sup>2</sup> (ნახ. 3-5 და 3-8). თავისთავად, გაჭიმვის ეს ზონა იმყოფება გვირაბის ფუძეში და ჩამონგრევისათვის არავითარ საშიშროებას არ წარმოადგენს. გვირაბის დანარჩენი პერიმეტრი და მისი სიახლოვე მთლიანად მკუმშავ ზონაში იმყოფება. მაქსიმალურ მნიშვნელობებს ისინი აღწევენ გვირაბის ორივე მხარს შუა ნაწილში:  $\sigma_y = -74,9 \div -110,9$  კგ/სმ<sup>2</sup> და  $\sigma_2 = -75,9 \div -112,4$  კგ/სმ<sup>2</sup> (ნახ. 3-6 და 3-9). მაქსიმალური ჩადუნები, როგორც მოსალოდნელი იყო, თავს იჩენს ზუსტად გვირაბის თაღის კლიტის ზონაში: დაახლოებით 0,66 სმ (ნახ. 3-2 და 3-4), რაც არ გამოიწვევს გვირაბის ჩამონგრევას, რადგან ეს ზონა ძირითადათ მკუმშავი ძაბვების ზონას წარმოადგენს.

#### 4. გვირაბის დაძაბულ-დეფორმირებული მდგომარეობის ანალიზი სამთო წნევისა და მოკეთების საკუთარი წონის გათვალისწინებით

ანალიზის მეორე საფეხურზე ჩატარდა გვირაბისა და გარემომცველი ქანების დაძაბულ-დეფორმირებული მდგომარეობის ანგარიში სამთო წნევისა და მოკეთების საკუთარი წონის გათვალისწინებით. ამავე დროს, მოკეთების საპროექტო B22.5 ბეტონის ნაცვლად, ანგარიშებში გამოყენებული იქნა ფიბროდანამატებიანი ბეტონის (ნორვეგიული ვარიანტი) ფიზიკურ-მექანიკური მახასიათებლები.

ანალიზის დაწყებამდე გაანგარიშებული იქნა უშუალოდ სამთო წნევების სიდიდეები, რომლებიც მოქმედებენ გვირაბის მოკეთების თაღზე და გვერდებზე. ანგარიში ჩატარდა მ. პროტოდიაკონოვის მეთოდით [1,6,7].

გვირაბზე კერტიკალური სამთო წნევის ანგარიში.

პირველ რიგში ტარდება კერტიკალური სამთო წნევის ანგარიში გვირაბის ბრტყელ გადახურვზე (სწორკუთხა ფორმის გვირაბის შემთხვევა) და შემდეგ ხდება მიღებული შედეგის გადაყვანა თაღური ფორმის გადახურვაზე.

კერტიკალური სამთო წნევა გვირაბის ბრტყელ გადახურვაზე იანგარიშება შემდეგი ფორმულით:

$$Q'_V = \gamma_1 \frac{b^2}{3f_k} \quad \text{სადაც} \quad \gamma_1 \quad \text{არის} \quad \text{გრუნტის}$$

მოცულობითი წონა;

$$\gamma_1 = 2,4 \quad \text{ტ/ტ}^3$$

$b$  - სწორკუთხია ფორმის გვირაბის სიგანე, რომელსაც ვუშვებთ რეალური (საპროექტო) გვირაბის დიამეტრის ( $d$ ) ტოლად. რადგან მოპირკეთებული გვირაბის დიამეტრი ტოლია  $5,0$  მ-ის, ხოლო მოპირკეთების სისქე –  $0,35$  მ-ის, მაშინ

$$b = 5,7 \text{ მ.}$$

$f_k$  - გრუნტის სიმაგრე. საპროექტო მონაცემებით  $f_k = 4,1$ .

თუ ჩავსვავთ აღნიშნულ მონაცემებს სამთო წნევის სიდიდის გამოსახულებაში, მივიღებთ:

$$Q'_V = 2,4 \frac{5,7^2}{3 \times 4,1} = 6,234 \quad \text{ტ}$$

თაღოვანი გადახურვის, ანუ წრიული კვეთის გვირაბის შემთხვევაში

$$Q_V = 0,7 Q'_V = 0,7 \times 6,234 = 4,36 \text{ ტ}$$

ჩამონაგრევის თაღის სიმაღლე:

$$h = \frac{b}{2f_k} = \frac{5,7}{2 \times 4,1} = 0,70 \text{ მ}$$

გვირაბზე პორიზონტალური (გვერდითი) სამთო წნევის ანგარიში.

პორიზონტალური სამთო წნევა სწორკუთხია გვირაბზე იანგარიშება შემდეგი ფორმულით:

$$E_H = \frac{1}{2} h_0 \left( 2q_0 + \gamma_1 h_0 \right) \operatorname{tg}^2 \left( 45^\circ - \frac{\varphi_k}{2} \right),$$

სადაც

$$q_0 = \frac{2}{3f_k} \gamma_1 \left[ b + h_0 \operatorname{tg}^2 \left( 45^\circ - \frac{\varphi_k}{2} \right) \right];$$

$$\varphi_k = \arctg f_k$$

თუ ჩავსგვთ  $f_k = 4,1$   $\varphi_k$ -ს გამოსახულებაში, მივიღებთ:

$$\varphi_k = 76^{\circ}42' , \text{ ხოლო } \tg^2 \left( 45^{\circ} - \frac{76^{\circ}42'}{2} \right) = 0,01325$$

$$h_0 = b = 5,7 \text{ მ}$$

ჩავსვათ ყველა ცნობილი მნიშვნელობა  $q_0$ -ის გამოსახულებაში:

$$q_0 = \frac{2}{3 \times 4,1} \times 2,4 [5,7 + 5,7 \times 0,01325] = 2,21$$

ჩავსვათ გამოთვლილი მნიშვნელობები  $E_H'$ -ის გამოსახულებაში და მივიღებთ:

$$E_H' = \frac{1}{2} \times 5,7 (2 \times 2,21 + 2,4 \times 5,7) \times 0,01325 = 0,675 \text{ ტ}$$

წრიული კვეთის გვირაბის შემთხვევაში, პორიზონტალური სამთო წნევა იანგარიშება ფორმულით;

$$E_H = 0,7 E_H'$$

თუ ჩავსვათ  $E_H'$ -ის მნიშვნელობას, მივიღებთ:

$$E_H = 0,7 \times 0,675 = 0,473 \text{ ტ}$$

ვიანგარიშეთ რა ვერტიკალური  $Q_V$  და პორიზონტალური  $E_H$  სამთო წნევები, ისინი უნდა მოვდოთ საანგარიშო სქემაში გვირაბის მოპირკეთების გარე პერიმეტრის შესაბამის წერტილებში და შესაბამისი მიმართულებებით.

გვირაბის მოსახვაზე მოქმედი სამთო წნევის გრაფიკული გამოსახულება ნაჩვენებია ნახ. 4-1 – ზე.

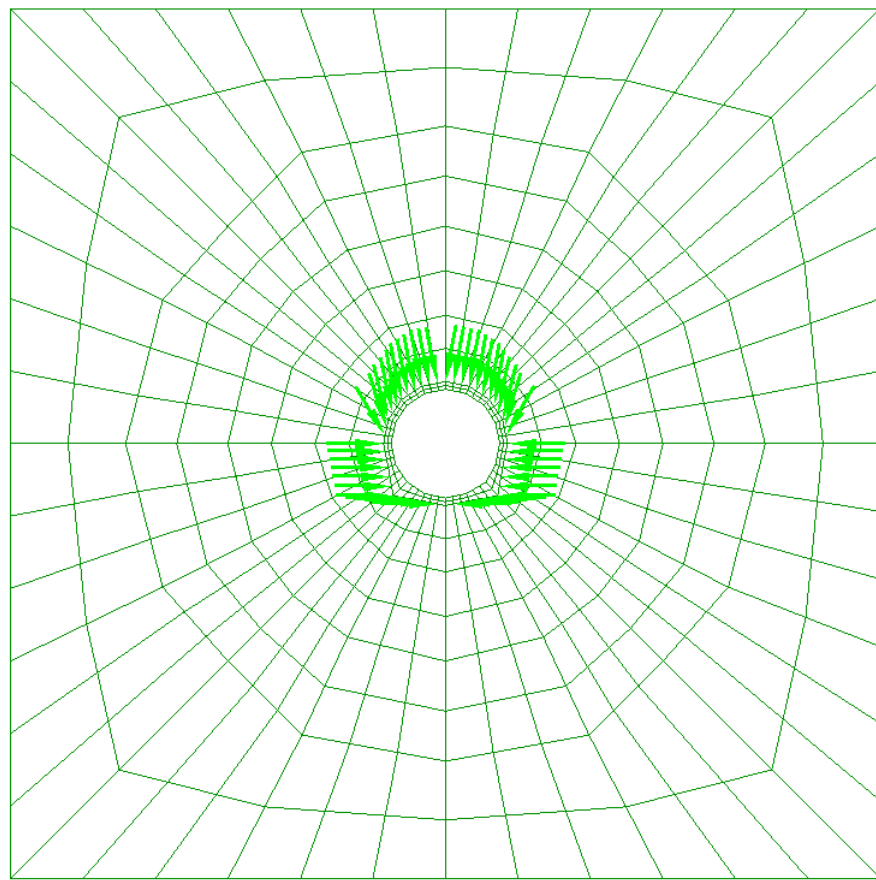
გვირაბის მოსახვის დაძაბულ-დეფორმირებული მდგომარეობის საანგარიშო უნდა დავაზუსტოთ ნორვეგიულ მეთოდში გამოყებად ფიბროდანამატებიანი ბეტონის დრეკადობის მოდული. რაც შეეხება პუასონის კოეფიციენტს, ის პრაქტიკულად არ იცვლება და ტოლია ტრადიციული ბეტონის შესაბამისი მნიშვნელობის. დრეკადობის მოდულის მნიშვნელობები კი იცვლება  $(2,0 \div 2,2) \times 10^6 \text{ ტ/მ}^2$ -დე [8]. საანგარიშოდ ავიდეთ გასაშუალებული მნიშვნელობა –  $2,1 \times 10^6 \text{ ტ/მ}^2$ .

სამთო წნევებისა და მოკეთების საკუთარი წონის გათვალისწინებით, გვირაბის დაძაბულ-დეფორმირებული მდგომარეობის საანგარიშო სქემა მოცემულია ნახ. 4-2-

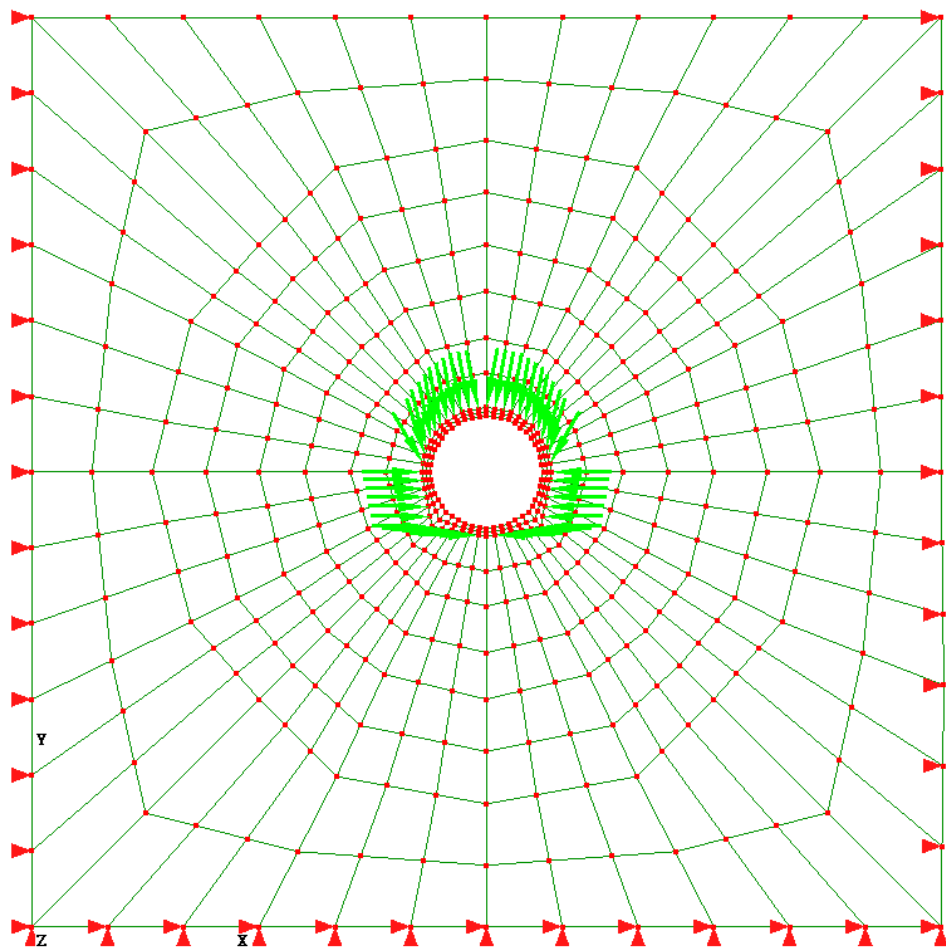
ზე. ის წარმოადგენს სწორკუთხედს, რომლის შეაში არის გაყვანილი ფიბონაციელით მოკეთებული გვირაბი დიამეტრით  $d=5,0$  მ. სწორკუთხედის ზომებია  $40 \times 40$  მ. სქემა დაყოფილია 480 სწორკუთხა ელემენტად, რომლებიც ერთმანეთთან გაერთიანებულია 528 კვანძის საშუალებით. გვირაბის დერძის დონიდან გრუნტის თავისუფალ ზედაპირამდე მანძილი 85 მეტრია ( $\nabla 1030.00 - \nabla 945.00$ ).

სასაზღვრო პირობები შემდეგნაირია: მარცხნიდან და მარჯვნიდან სქემის საზღვრებში განლაგებული 24-ვე კვანძის გადაადგილებები შეზღუდულია (ხისტადარის ჩამაგრებული) X დერძის მიმართულებით, ხოლო ფუძეში განლაგებული 13 კვანძის გადაადგილებები კი შეზღუდულია ორივე, X და Y დერძების მიმართულებით. სქემის ზედა საზღვრის 11-ვე კვანძი თავისუფალია.

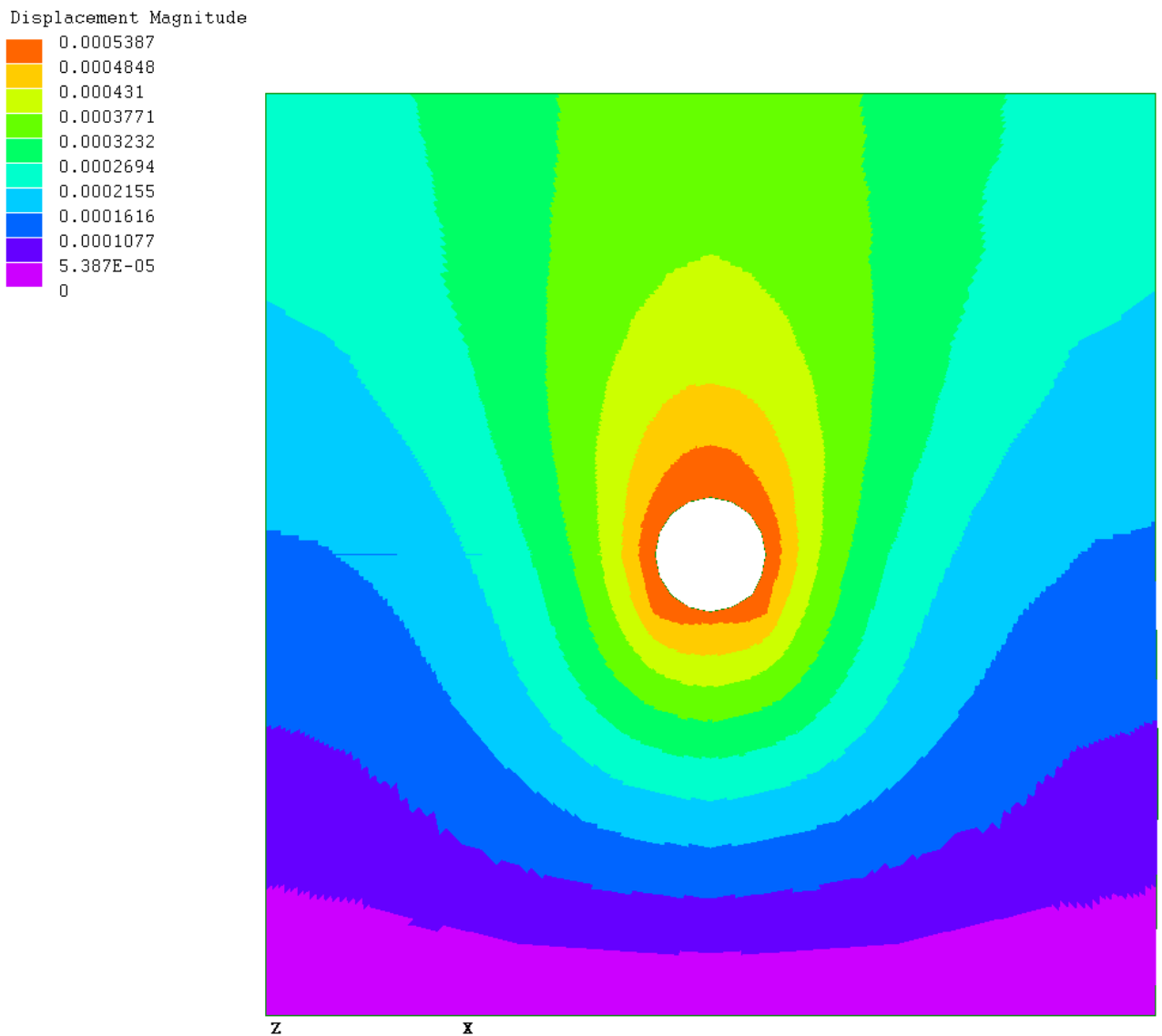
მიღებული შედეგები წარმოდგენილია ნახ. 4-3 -დან ნახ. 4-10 – ის ჩათვლით. თუ მივიღებთ მხედველობაში იმას, რომ ფიბონაციელის სიმტკიცე გაჭიმვაზე ტოლია  $250 - 330$   $\text{კგ/მ}^2$  ( $2500 - 3300$   $\text{ტ/მ}^2$ )-ისა [8], გვირაბის მოკეთების არცერთი მონაკვეთი არ განიცდის სახიფათო, არც გამჭიმავი და არც მკუმშავი, ძაბვების ზემოქმედებას. [შენიშვნა: გადაადგილებები მოცემულია მეტრებში (მ), ხოლო ძაბვების მნიშვნელობები - ნიუტონი/მ<sup>2</sup> ( $N/\text{მ}^2$ ) – შე. 1 ნიუტონი ( $N$ ) =  $0,0001$  ტ. მაგალითისთვის,  $-1.053E+05N/\text{მ}^2 = -10.53$   $\text{ტ/მ}^2 = -1.053$   $\text{კგ/მ}^2 = -0.1053$  მპა].



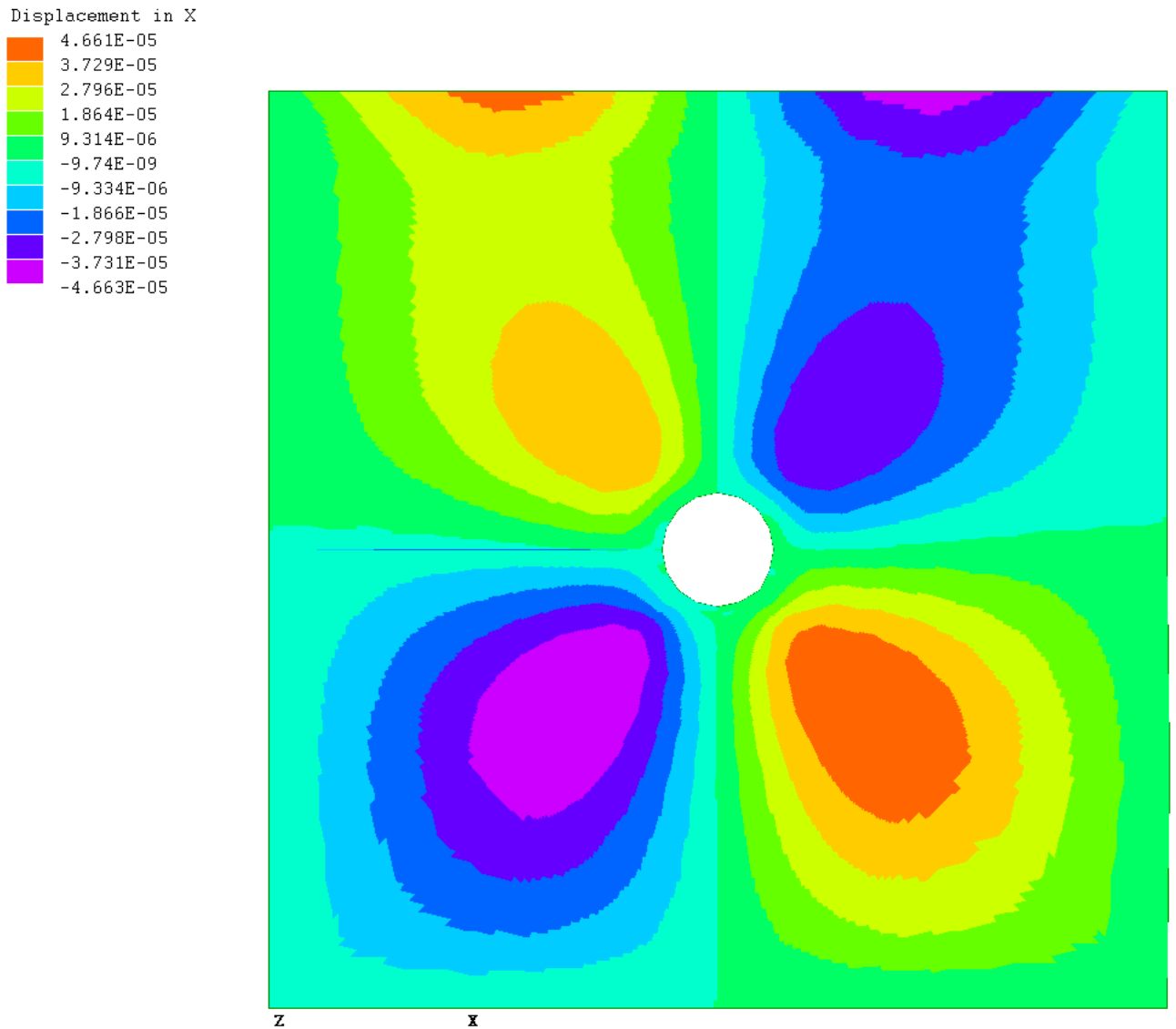
ნახ. 4-1. გვირაბზე მოქმედი სამთო წნევის გრაფიკული გამოსახულება



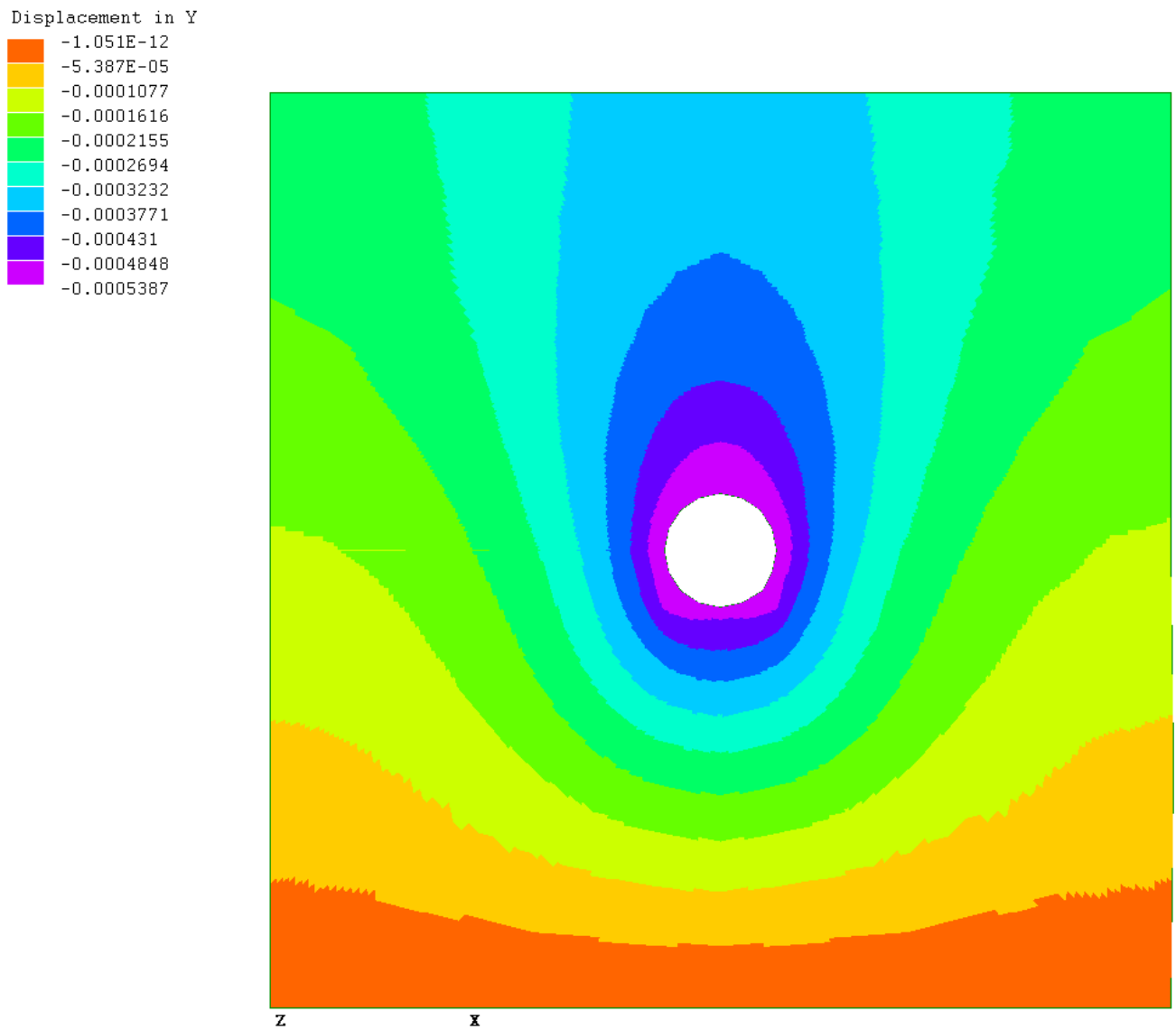
ნახ. 4-2. მოკეთებული გვირაბისა და გარემომცველი მასივის საანგარიშო სქემა  
(კვანძების რიცხვი  $M=528$ , ელემენტების რიცხვი  $N=480$ )



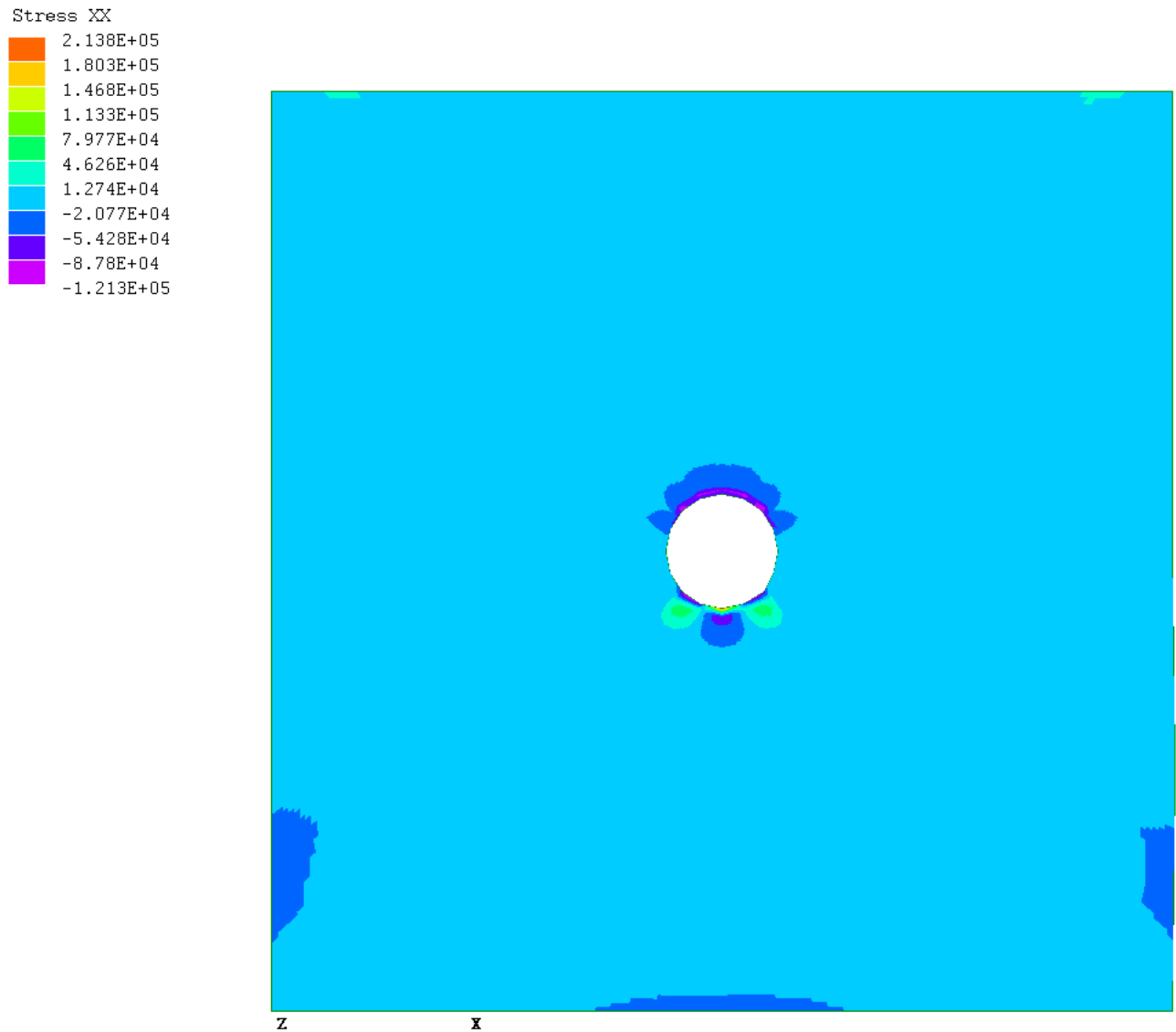
ნახ. 4-3. გვირაბის მოკეთებისა და გარემომცველი მასივის გადაადგილებათა  
მაგნიტუდების იზოზონები (გადაადგილებების მნიშვნელობები მოცემულია  
ძეგლებში)



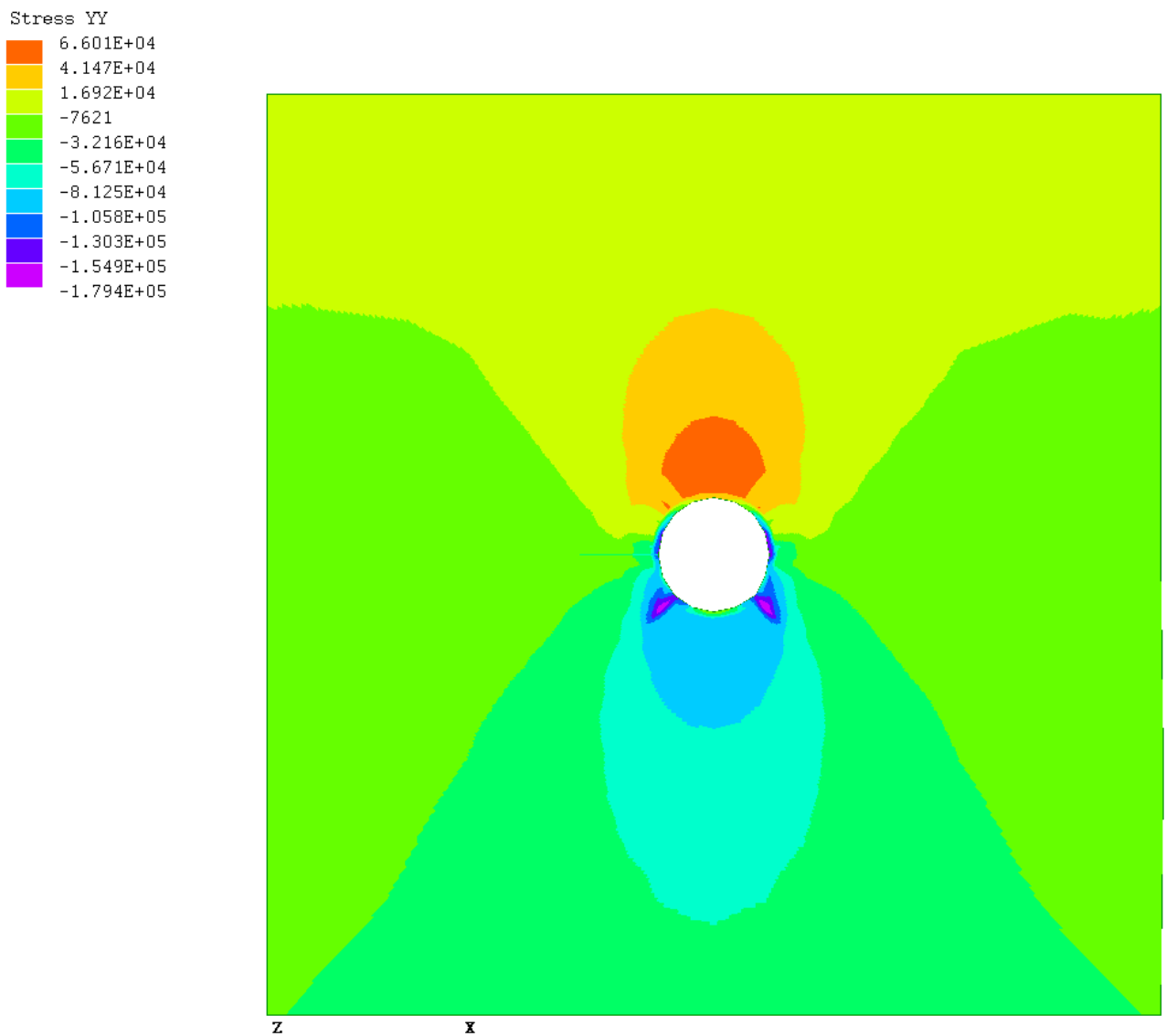
ნახ. 4-4. გვირაბის მოკეთებისა და გარემომცველი მასივის პორიზონტულ ჯერადაცვის მიმართულებით გადაადგილებათა იზოზონები (გადაადგილებების მნიშვნელობები მოცემულია მეტრებში)



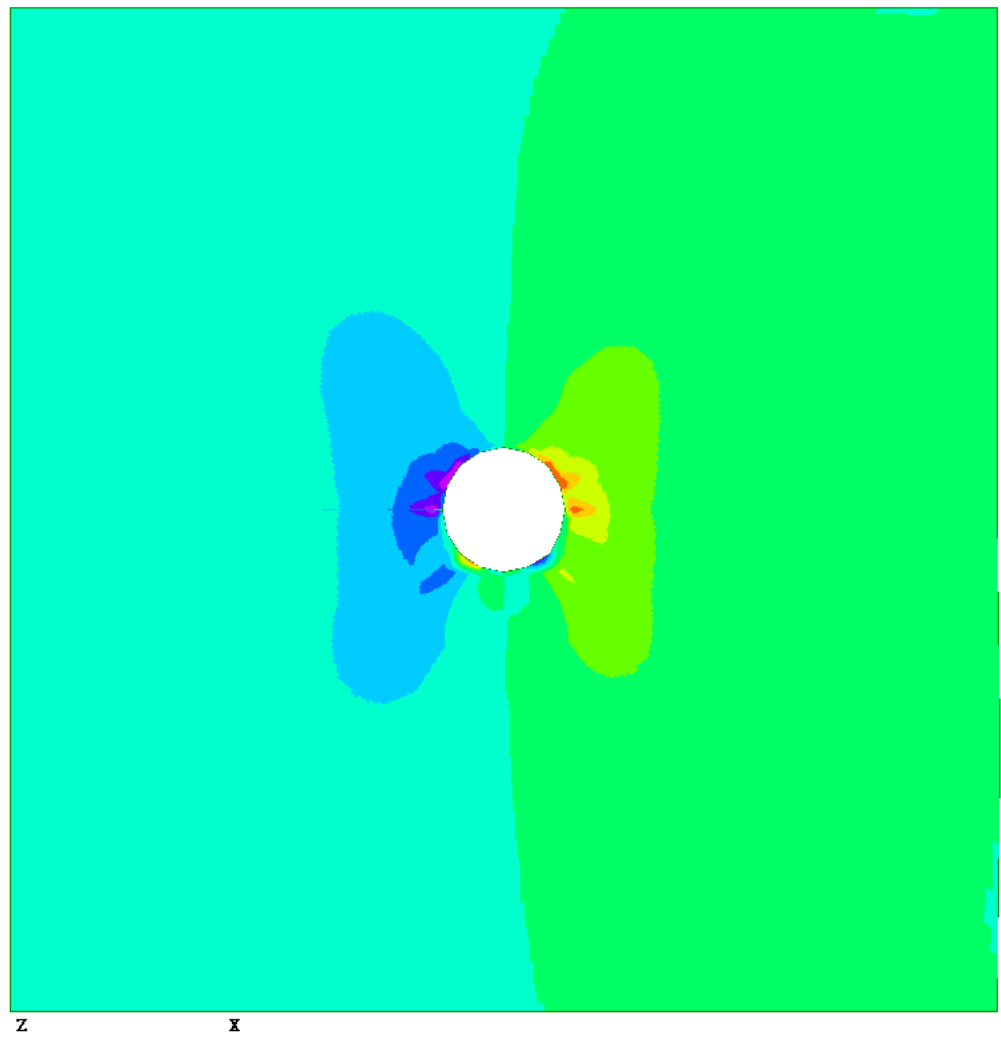
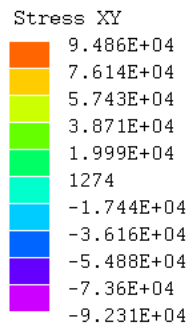
ნახ. 4-5. გვირაბის მოკეთებისა და გარემომცველი მასივის ვერტიკალურ ( Y მიმართულებით) გადაადგილებათა იზოზონები (გადაადგილებების მნიშვნელობები მოცემულია მეტრებში)



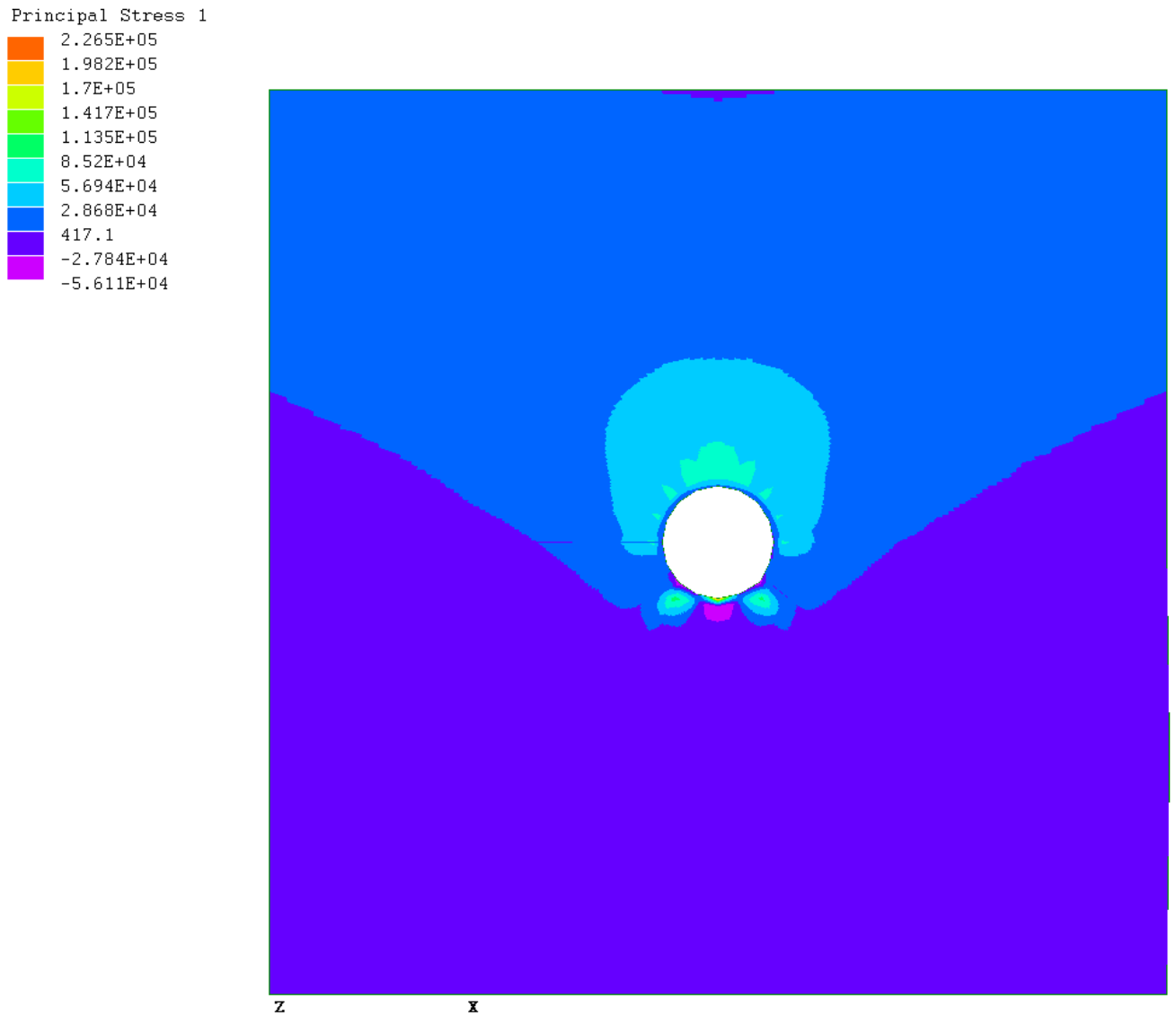
ნახ. 4-6. გვირაბის მოკეთებასა და გარემომცველ მასივში პორიზონტალური  $\sigma_x$  ძაბვების იზოზონები (ძაბვების მნიშვნელობები მოცემულია  $N/\delta^2$  – ში)



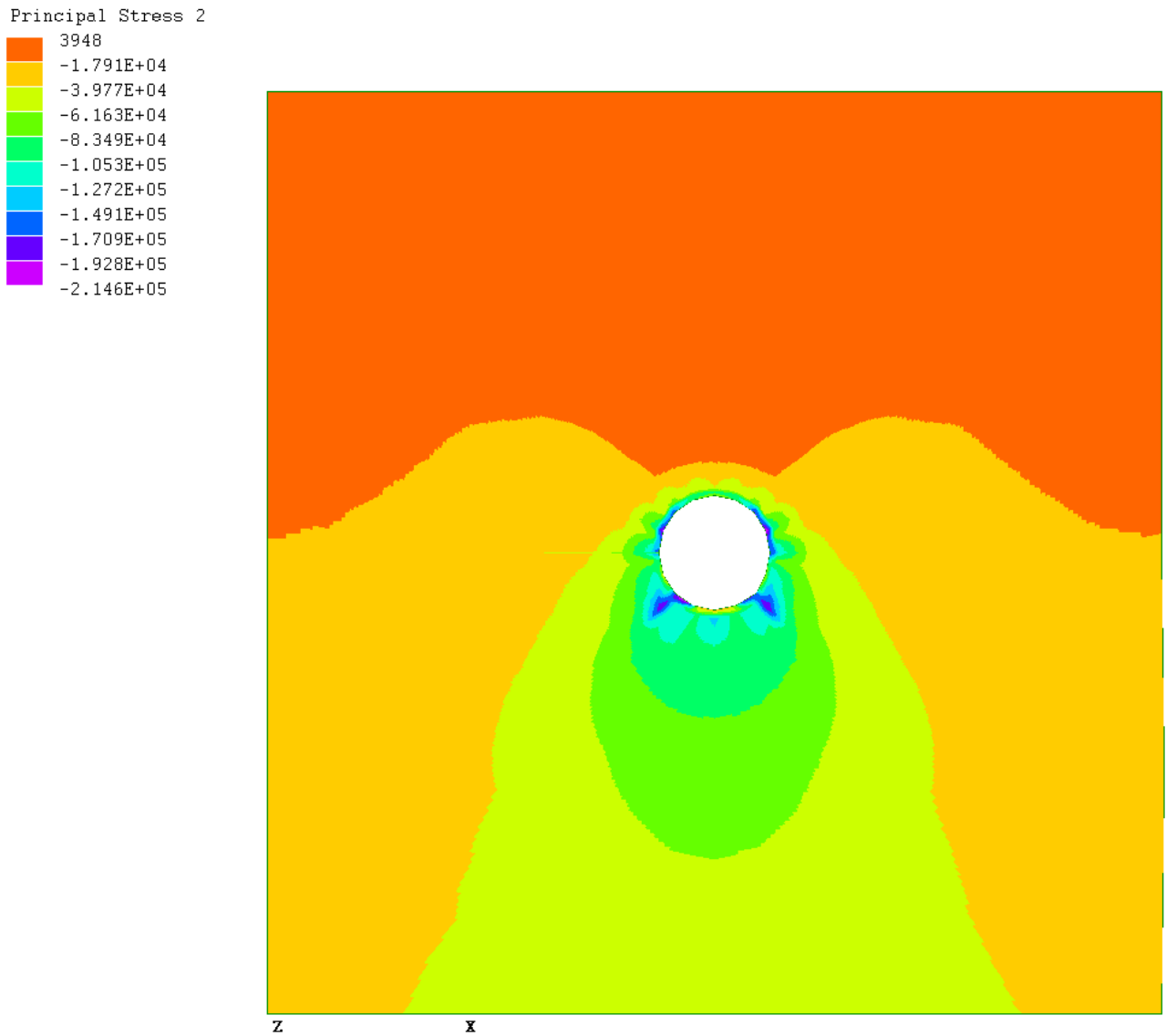
ნახ. 4-7. გვირაბის მოკეთებასა და გარემომცველ მასივში ვერტიკალურ  $\sigma_y$  ძაბვების  
იზოზონები (ძაბვების მნიშვნელობები მოცემულია  $N/\text{მ}^2$  – ზო)



ნახ. 4-8. გვირაბის მოკეთებასა და გარემომცველ მასივში მხები  $\tau_{xy}$  ძაბვების იზოზონები (ძაბვების მნიშვნელობები მოცემულია  $N/\sqrt{\text{მ}} - \text{მ} \sigma$ )



ნახ. 4-9. გვირაბის მოკეთებასა და გარემომცველ მასივში მთავარი  $\sigma_1$  ძაბვების იზოზონები (ძაბვების მნიშვნელობები მოცემულია  $N/\text{მ}^2$  – ში)



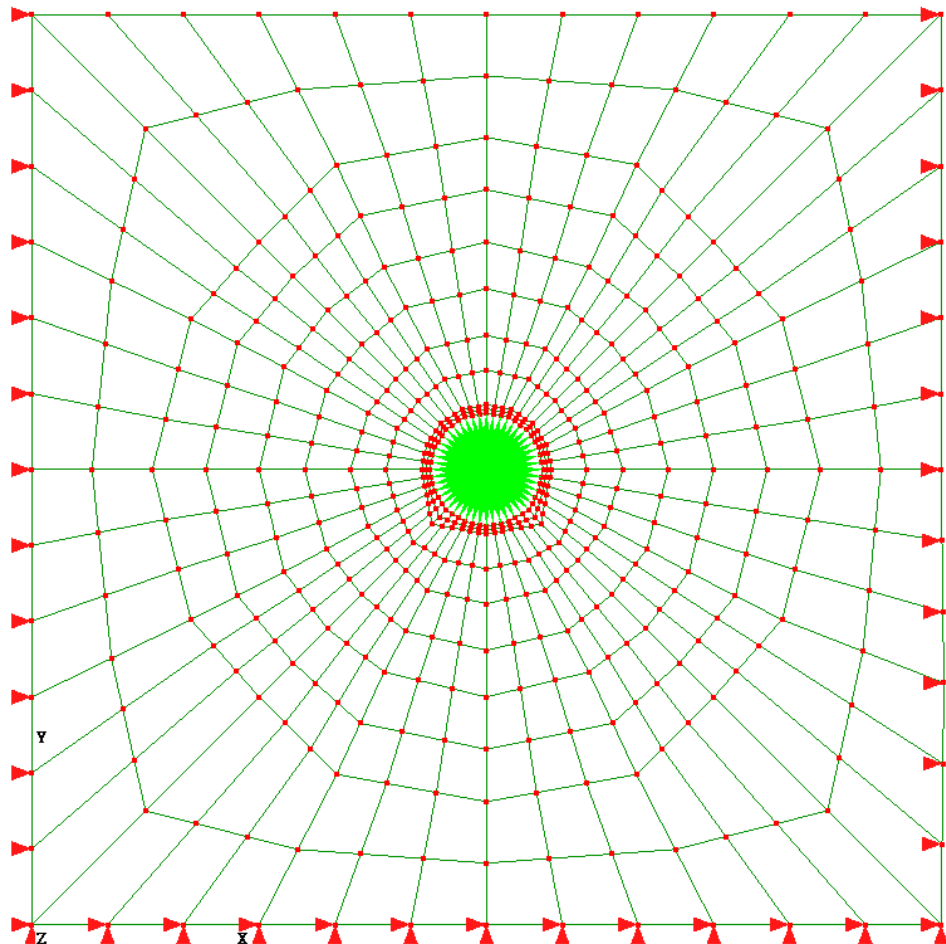
ნახ. 4-10. გვირაბის მოკეთებასა და გარემომცველ მასივში მთავარი  $\sigma_2$  ძაბვების იზოზონები (ძაბვების მნიშვნელობები მოცულებია  $N/\beta^2$  – შე)

5. გვირაბის დაძაბულ-დეფორმირებული მდგომარეობის ანალიზი  
მოკეთების საკუთარი წონისა და პიდროსტატიკური წნევის  
გათვალისწინებით

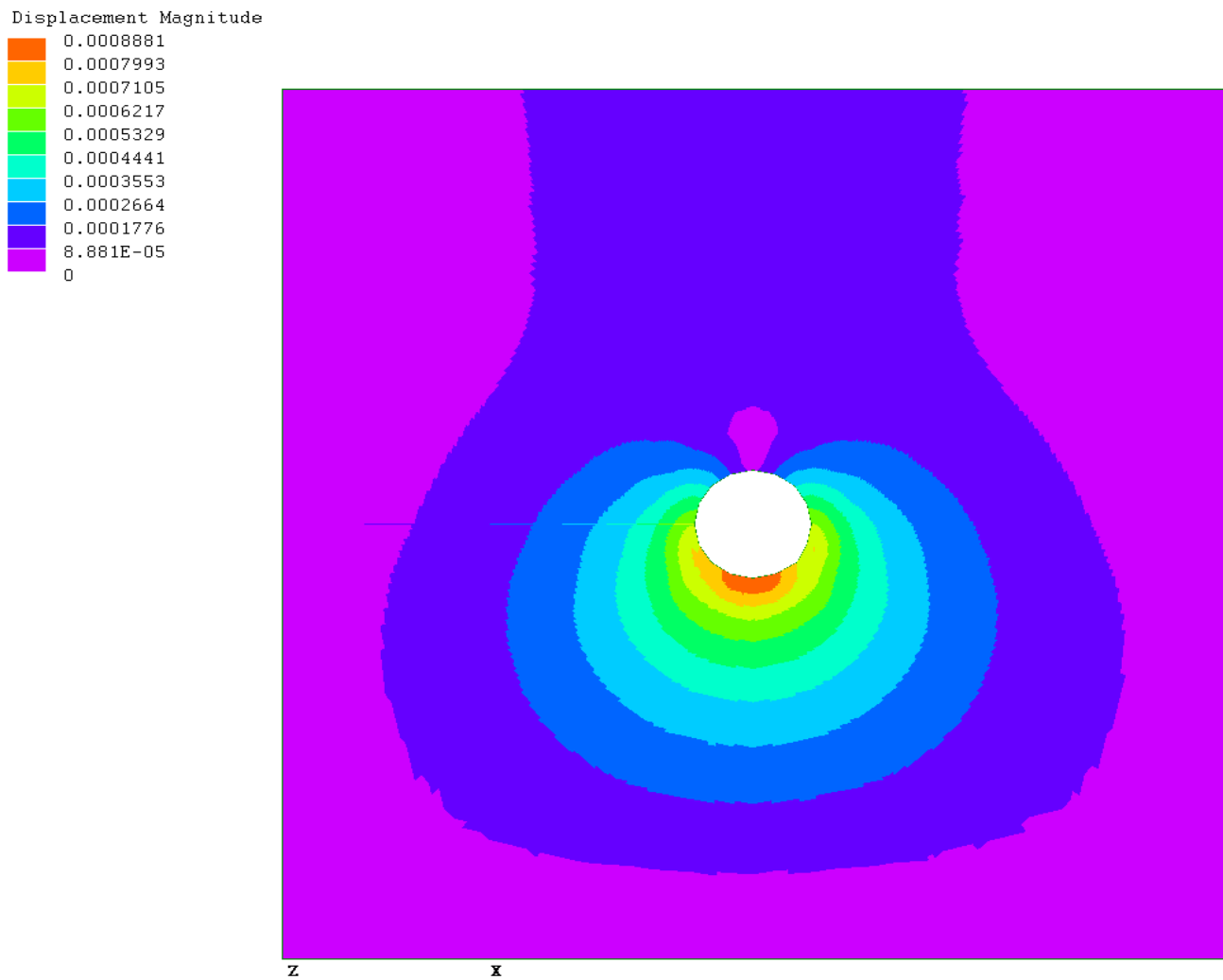
ანალიზის მესამე საფეხურზე ჩატარდა გვირაბისა და გარემომცველი ქანების დაძაბულ-დეფორმირებული მდგომარეობის ანგარიში მხოლოდ საკუთარი წონისა და გვირაბის შიგა პერიმეტრზე პიდროსტატიკური დაწნევის მოქმედების შემთხვევაში.

ამ დაწევის სიდიდე აღებული იქნა 70.0 მ-ის ტოლი. ეს არის სხვაობა წყალსაცავის ნორმალურ შეტორილ დონესა და გამთანაბრებულ რეზერვეუართან აღებულ საანგარიშო კვეთში გვირაბის ლერძის ნიშნული: ( $\nabla 1015.00 - \nabla 945.00$ ). საანგარიშო სქემა მოცემულია ნახ.5-1-ზე.

მიღებული შედეგები წარმოდგენილია ნახ. 5-2-დან ნახ. 5-9-ის ჩათვლით.

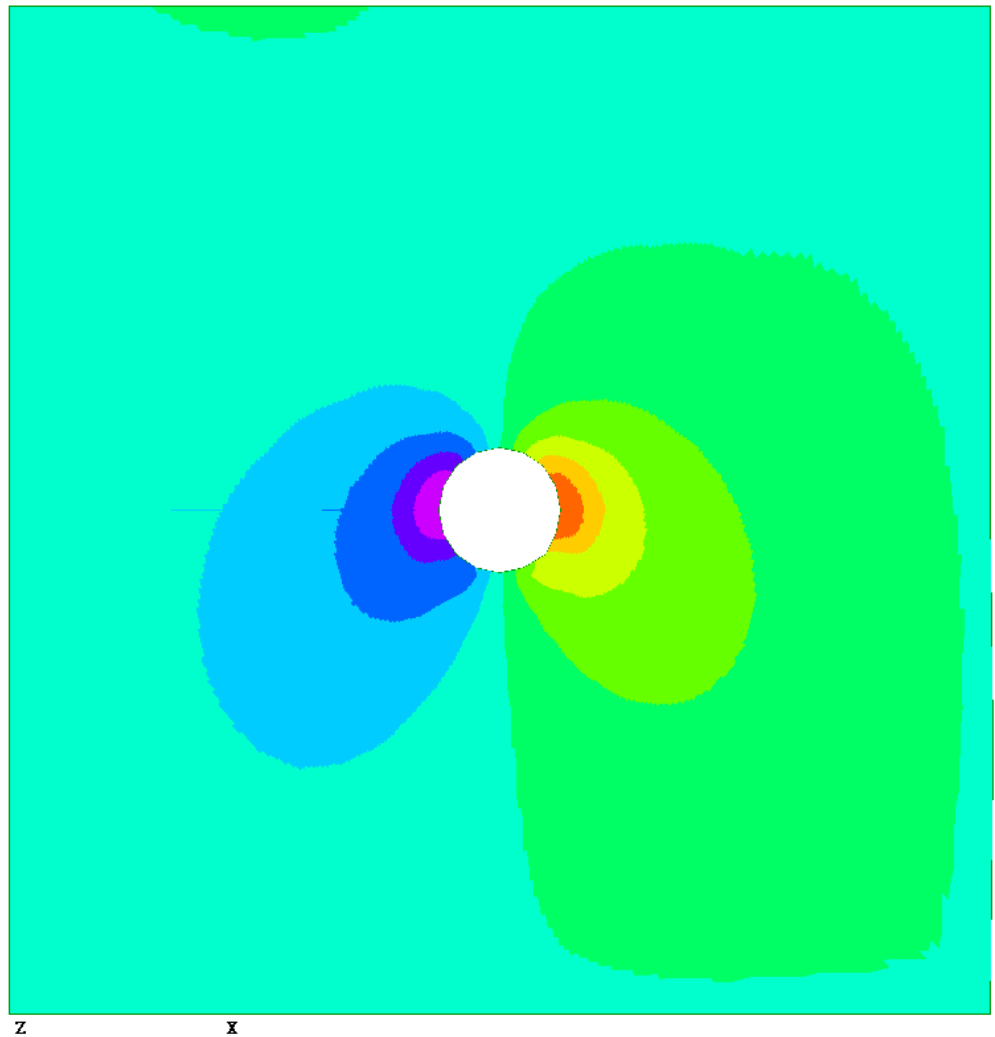
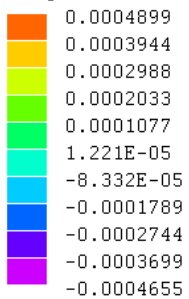


ნახ. 5-1. მოკეთებული გვირაბისა და გარემომცველი მასივის საანგარიშო სქემა  
მოკეთების საკუთარი წონისა და პიდროსტატიკური წნევის  
გათვალისწინებით(კვანძების რიცხვი  $M=528$ , ელემენტების რიცხვი  $N=480$ )

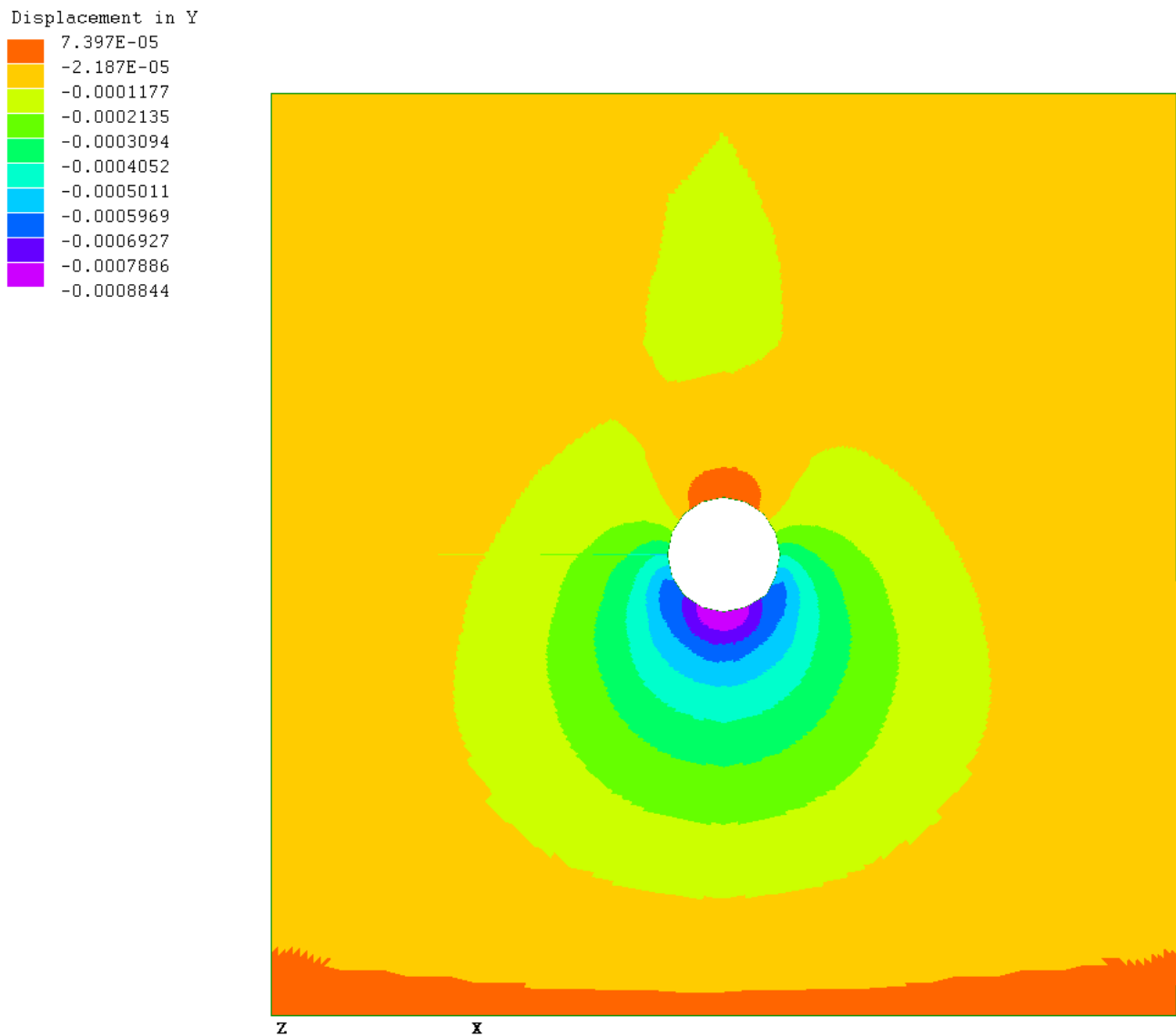


ნახ. 5-2. გვირაბის მოკეთებისა და გარემომცველი მასივის გადაადგილებათა  
მაგნიტუდების იზოზონები (გადაადგილებების მნიშვნელობები მოცემულია  
ძეგლებში)

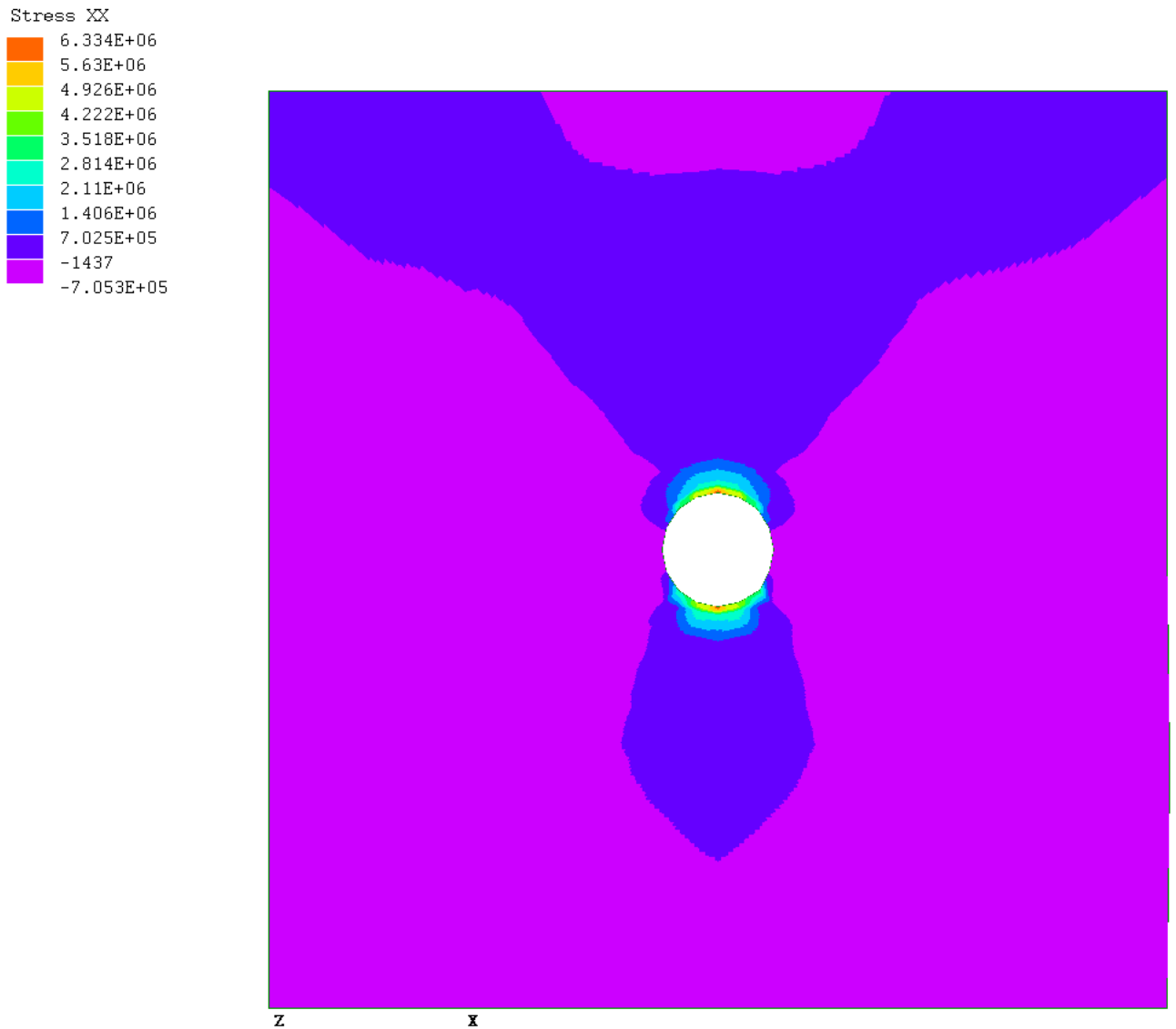
Displacement in X



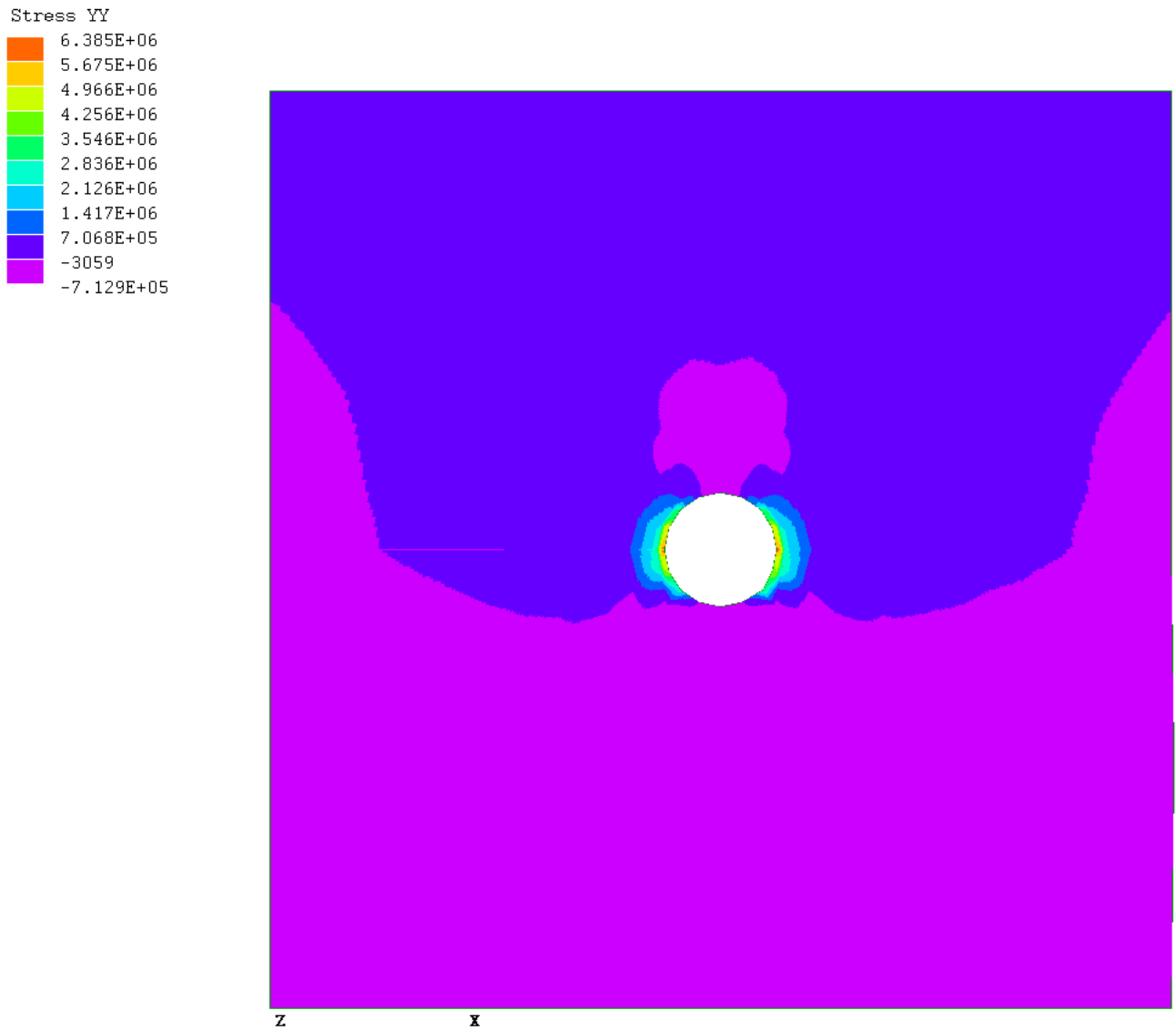
ნახ. 5-3. გვირაბის მოკეთებისა და გარემომცველი მასივის პორიზონტალურ (X მიმართულებით) გადააღგილებათა იზოზონები (გადააღგილებების ძნიშვნელობები მოცემულია მეტრებში)



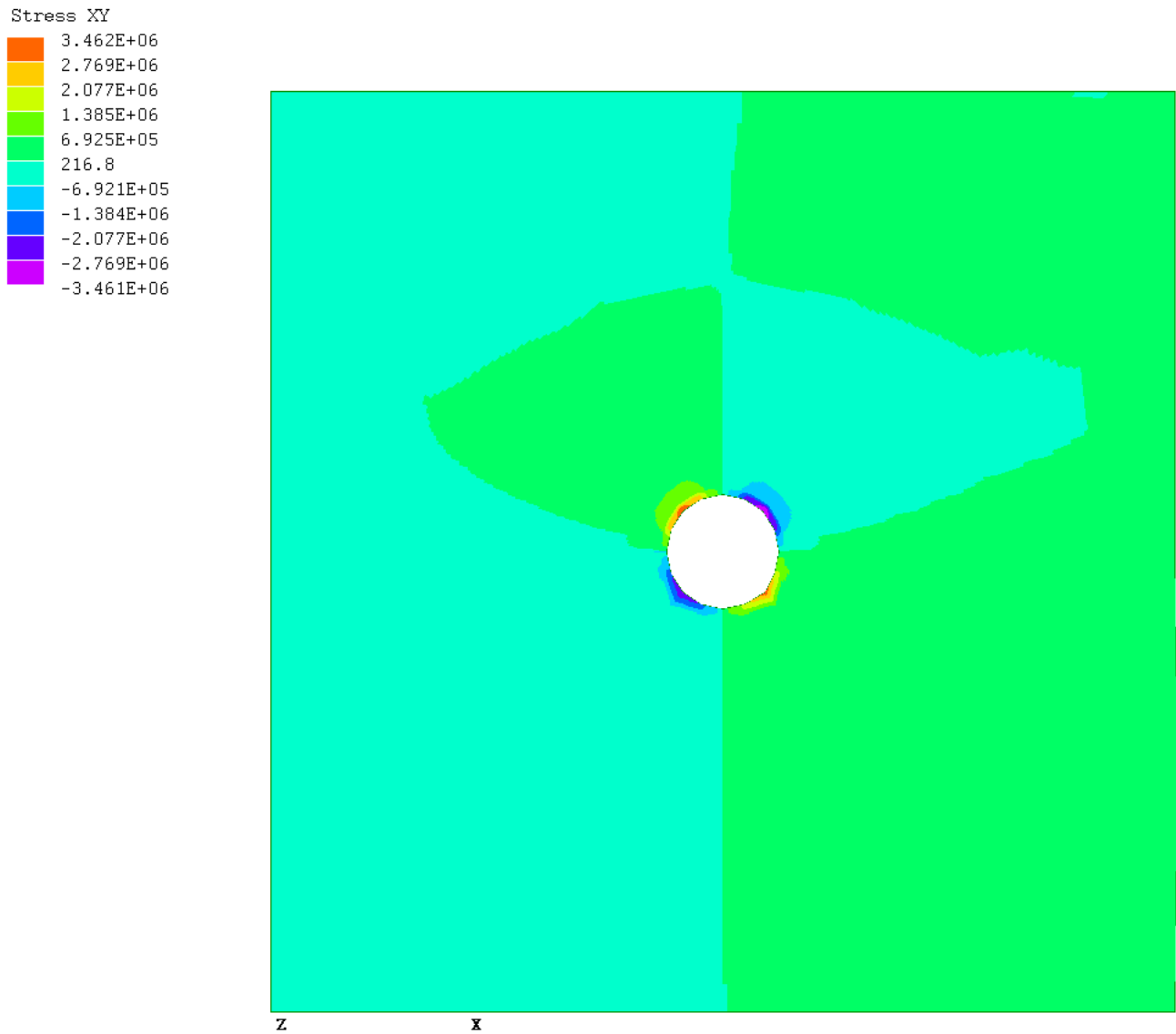
ნახ. 5-4. გვირაბის მოკეთებისა და გარემომცველი მასივის ვერტიკალურ ( Y მიმართულებით) გადაადგილებათა იზოზონები (გადაადგილებების მნიშვნელობები მოცემულია მეტრებში)



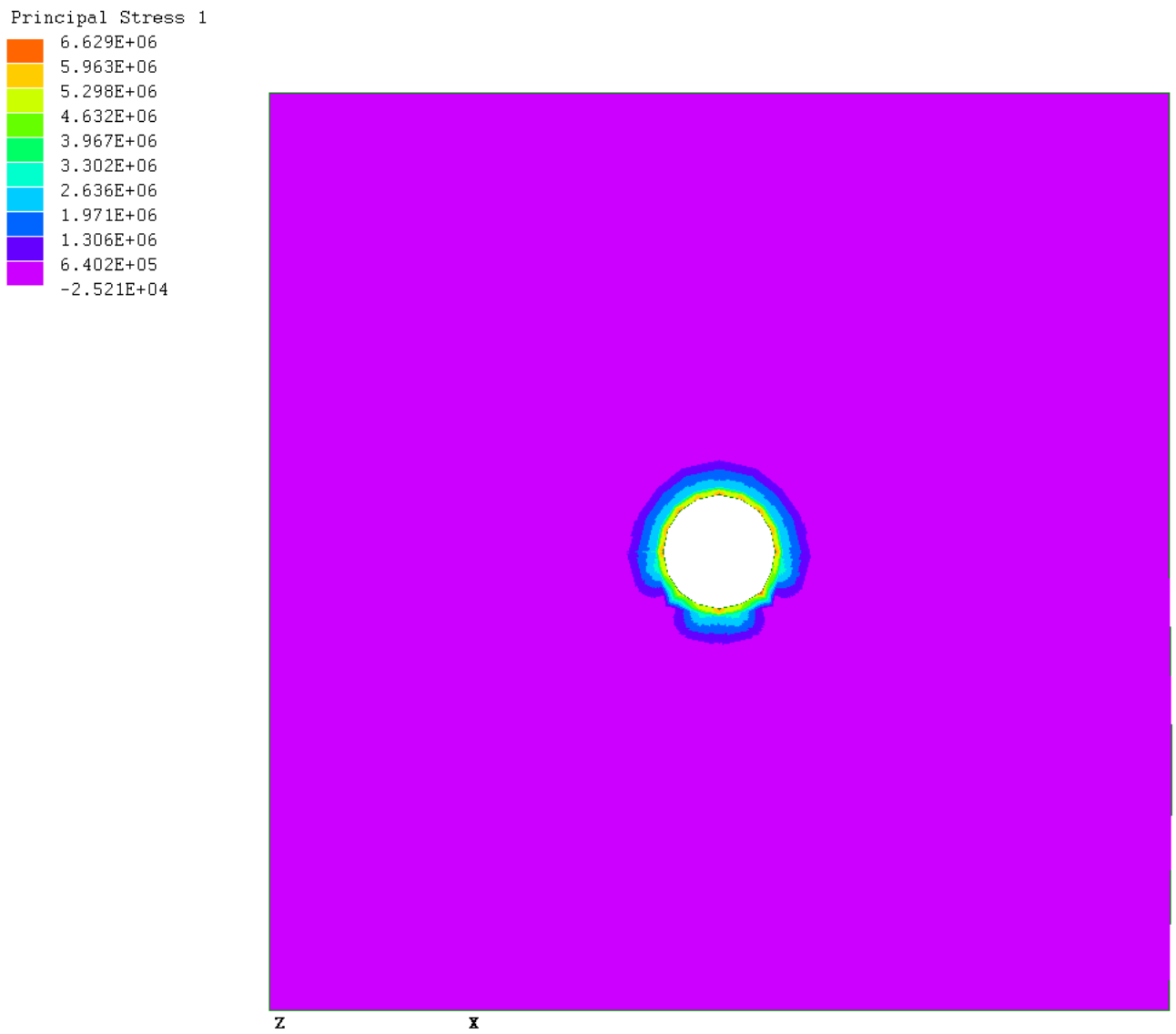
ნახ. 5-5. გვირაბის მოკეთებასა და გარემომცველ მასივში ჰორიზონტალური  $\sigma_x$  ძაბვების იზოზონები (ძაბვების მნიშვნელობები მოცემულია  $N/\delta^2$  – ში)



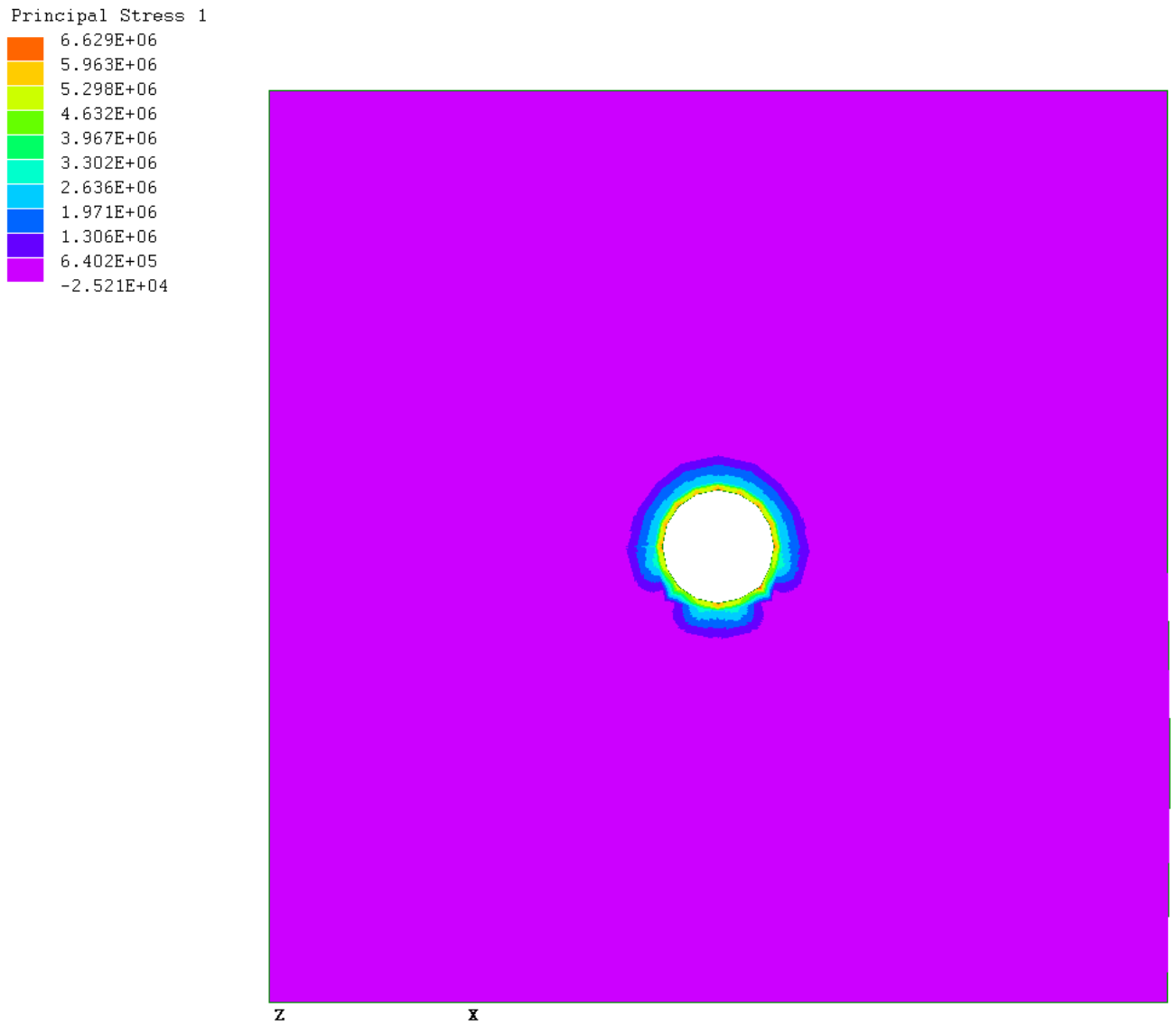
ნახ. 5-6. გვირაბის მოკეთებასა და გარემომცველ მასივში ვერტიკალურ  $\sigma_y$  ძაბვების იზოზონები (ძაბვების მნიშვნელობები მოცემულია  $N/\delta^2$  – ზო)



ნახ. 5-7. გვირაბის მოკეთებასა და გარემომცველ მასივში მხები  $\tau_{xy}$  ძაბვების იზოზონები (ძაბვების მნიშვნელობები  $N/\delta^2$  – ქი)



ნახ. 5-8. გვირაბის მოკეთებასა და გარემომცველ მასივში მთავარი  $\sigma_1$  ძაბვების იზოზონები (ძაბვების მნიშვნელობები მოცემულია  $N/\text{მ}^2$  – ზო)

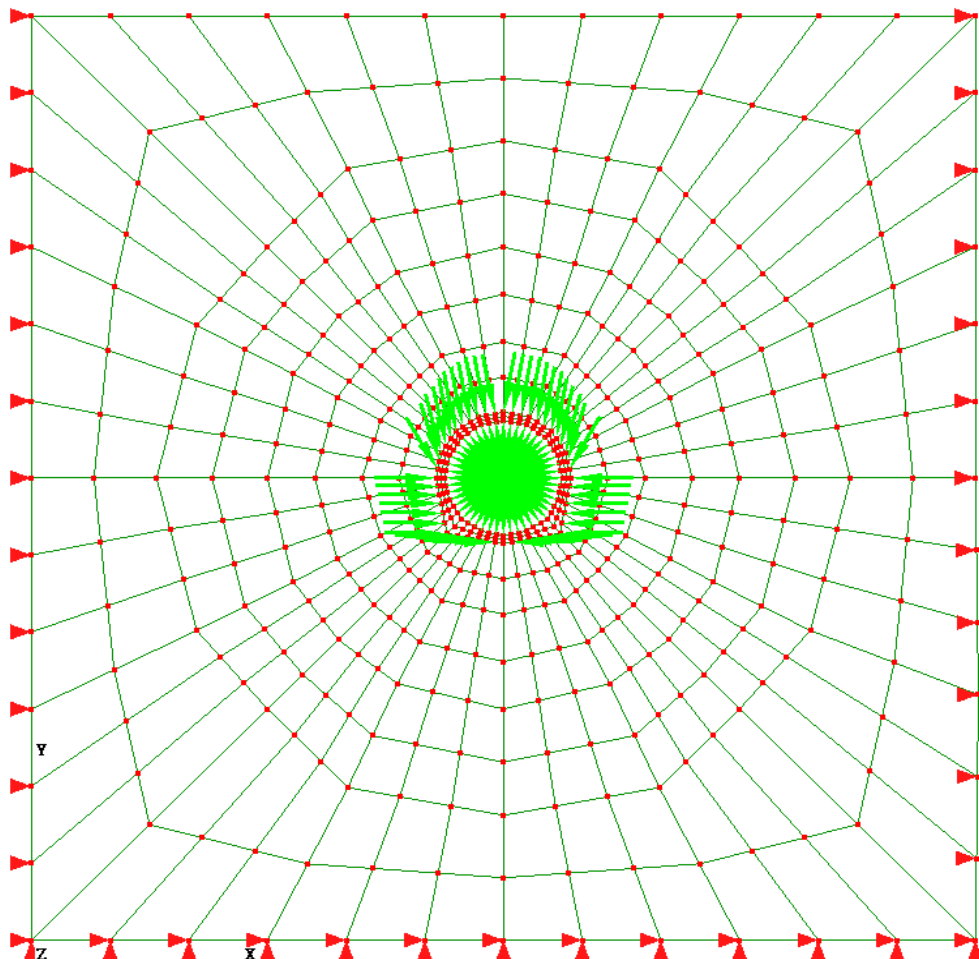


ნახ. 5-9. გვირაბის მოკეთებასა და გარემომცველ მასივში მთავარი  $\sigma_2$  ძაბვების იზოზონები (ძაბვების მნიშვნელობები მოცემულია  $N/\beta^2$  – ში)

შედეგების ანალიზმა აჩვენა, რომ გვირაბის მოკეთების არცერთი მონაკვეთი, მოცემულ საანგარიშო შემთხვევაშიც, არ განიცდის სახიფათო, არც გამჭიმავი და არც მკუმავი, ძაბვების ზემოქმედებას. [ შენიშვნა: გადაადგილებული მოცემულია ძეგლებში ( $\beta$ ), ხოლო ძაბვების მნიშვნელობები - ნიუტონი/ $\beta^2$  ( $N/\beta^2$ ) – ში. 1 ნიუტონი ( $N$ ) =  $0,0001 \text{ } \textcircled{\text{N}}$ . მაგალითისთვის,  $-1.053E+05N/\beta^2 = -10.53 \text{ } \textcircled{\text{N}}/\beta^2 = -1.053 \text{ } \textcircled{\text{N}}/b\beta^2 = -0.1053 \text{ } \textcircled{\text{N}}$  შეს].

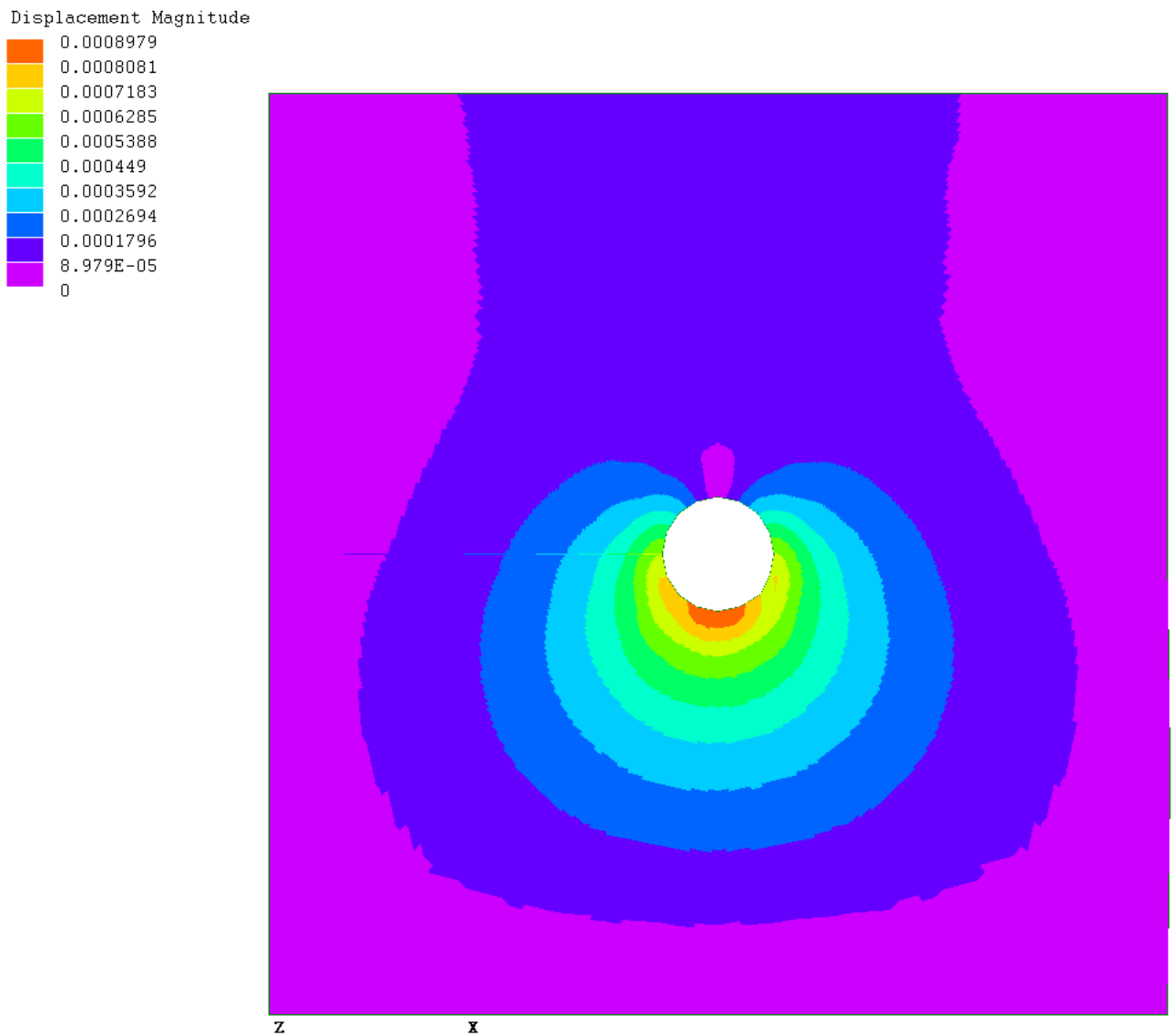
6. გვირაბის დაძაბულ-დეფორმირებული მდგომარეობის ანალიზი დატვირთვების სრული კომპლექსის (სამთო წნევები, მოკეთების საკუთარი წონა და ჰიდროსტატიკური დაწნევა) გათვალისწინებით

ანალიზის მეთოება საფეხურზე ჩატარდა გვირაბისა და გარემომცველი ქანების დაძაბულ-დეფორმირებული მდგომარეობის ანგარიში სამთო წნევების, საკუთარი წონისა და გვირაბის შიგა პერიმეტრზე ჰიდროსტატიკური დაწნევის მოქმედების შემთხვევაში. ამ დაწნევის სიდიდე აღებული იქნა 70.0 მ-ის ტოლი.

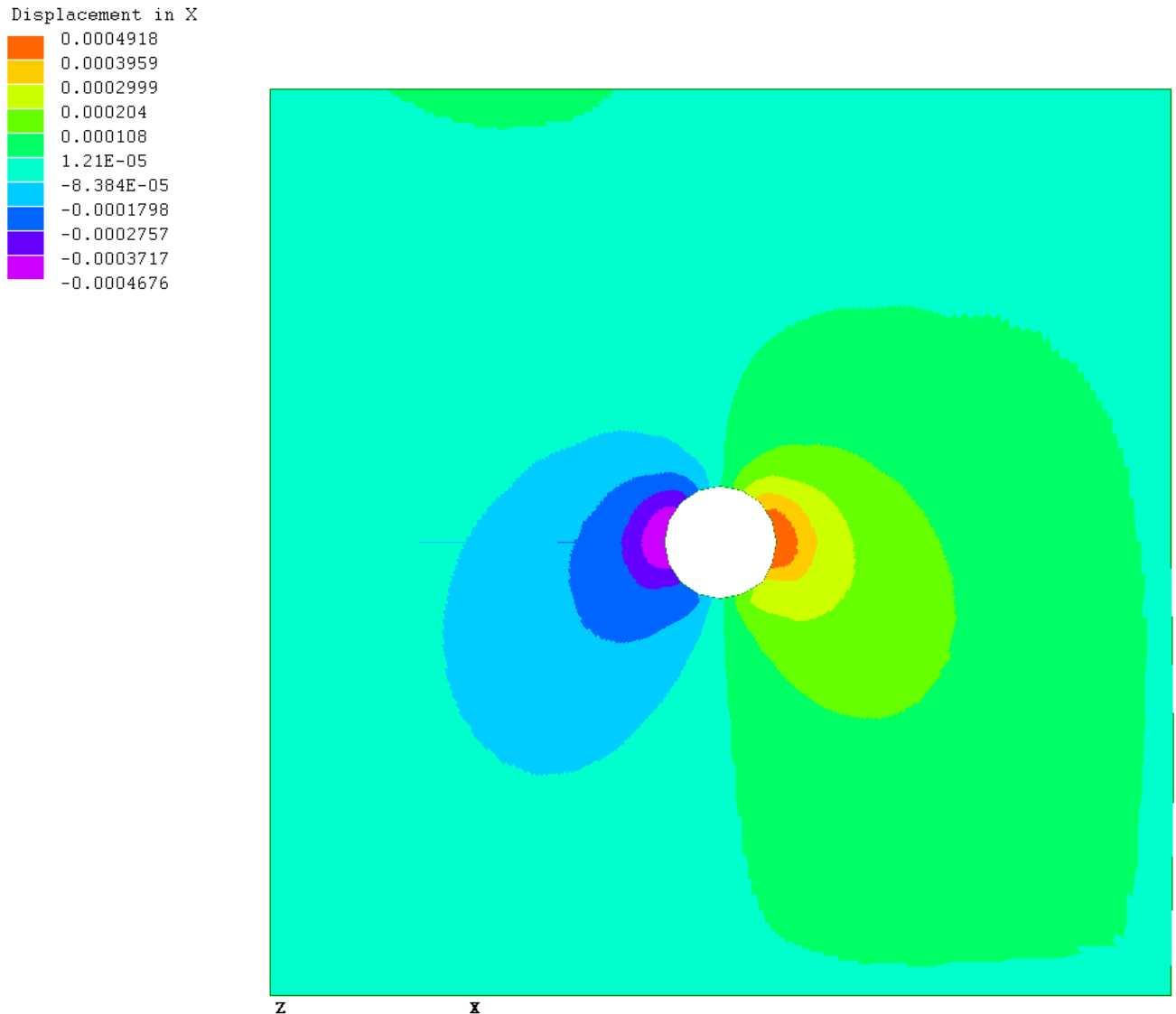


ნახ. 6-1. მოკეთებული გვირაბისა და გარემომცველი მასივის საანგარიშო სქემა მოკეთების საკუთარი წონის, ჰიდროსტატიკური დაწნევისა და სამთო წნევის გათვალისწინებით (კვანძების რიცხვი  $M=528$ , ელემენტების რიცხვი  $N=480$ )

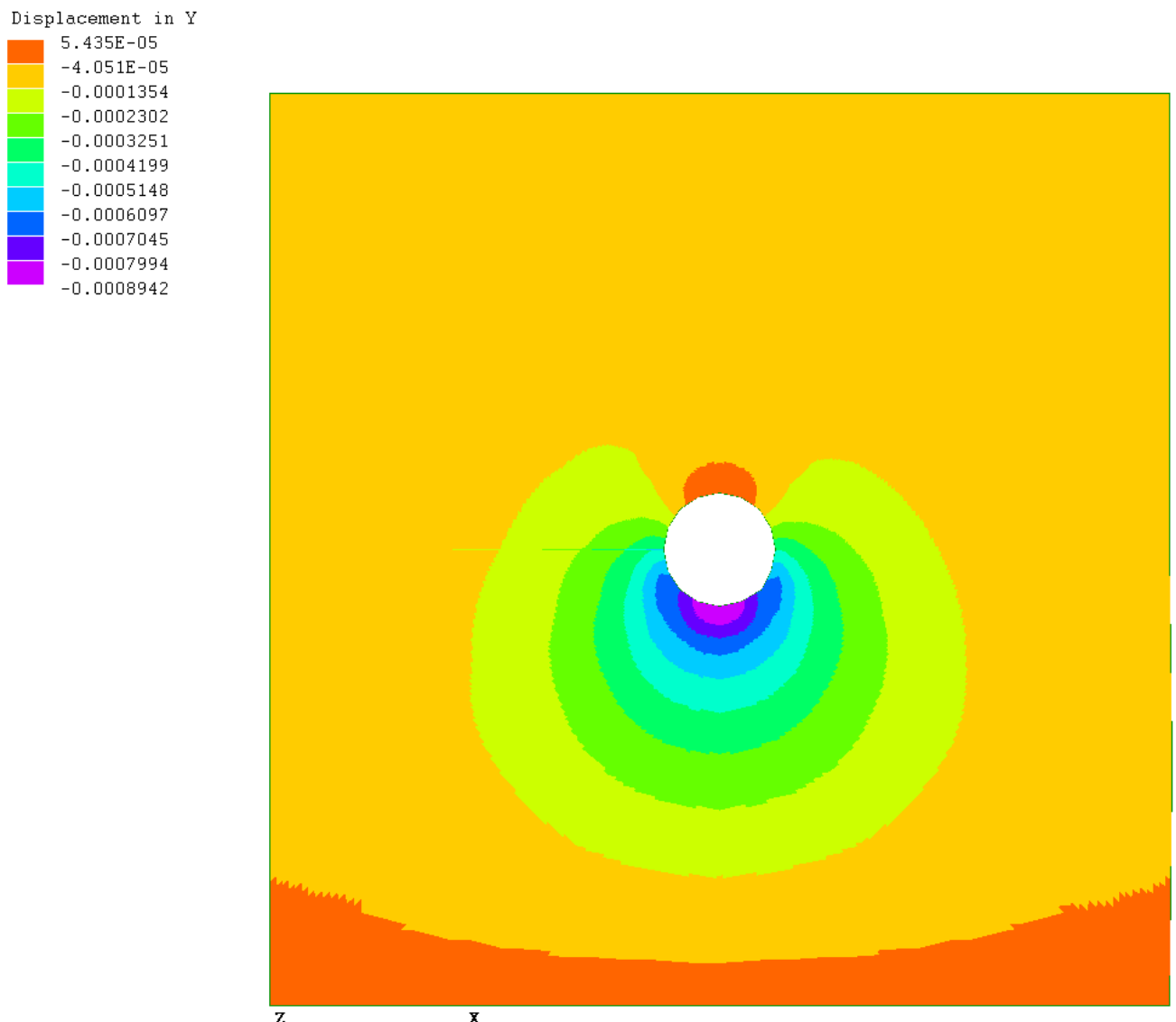
საანგარიშო სქემა მოცემულია ნახ. 6-1-ზე. მიღებული შედეგები წარმოდგენილია ნახ. 6-2-დან ნახ. 6-9-ის ჩათვლით.



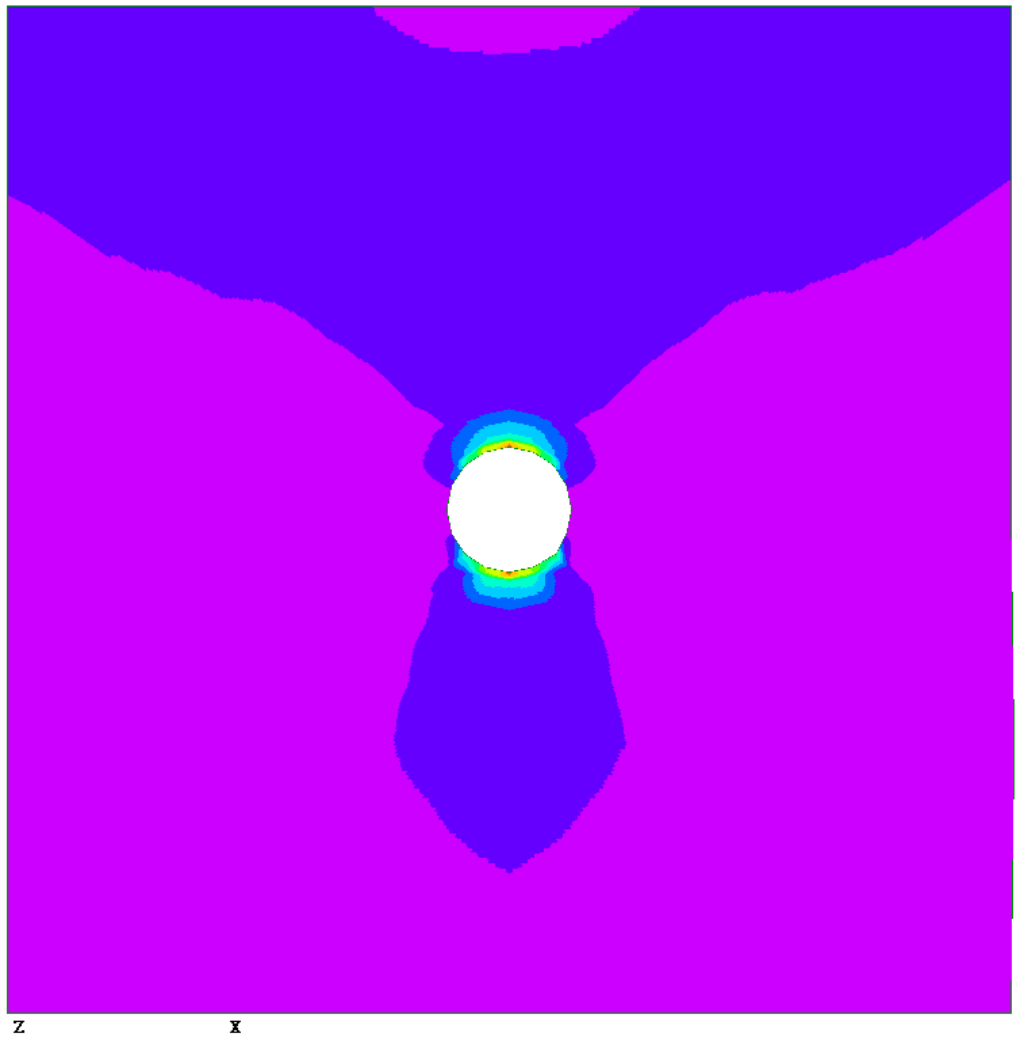
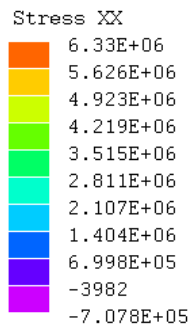
ნახ. 6-2. გვირაბის მოკეთებისა და გარემომცველი მასივის გადაადგილებათა მაგნიტუდების იზოზონები (გადაადგილებების მნიშვნელობები მოცემულია გეტრებში)



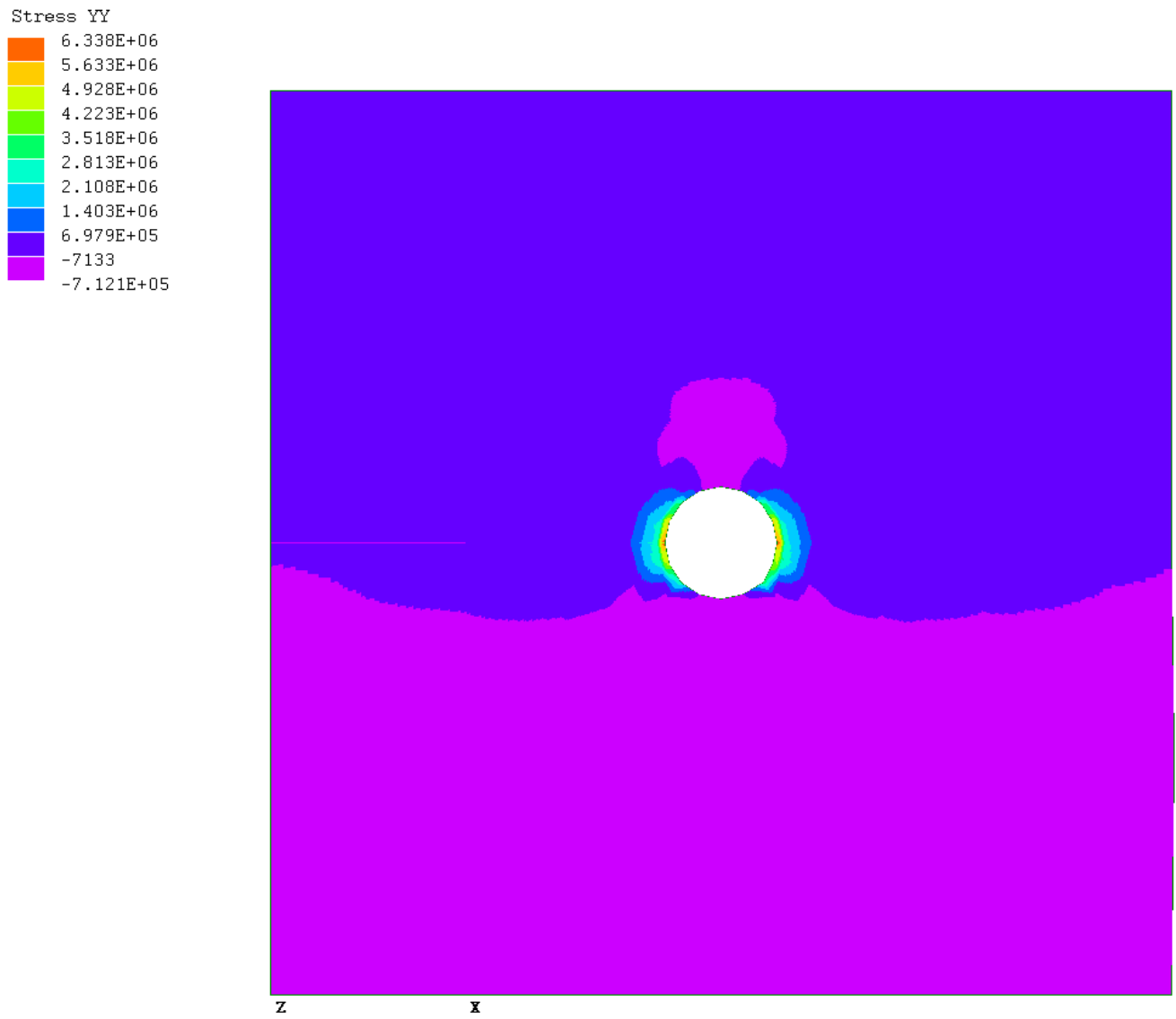
ნახ. 6-3. გვირაბის მოკეთებისა და გარემომცველი მასივის პორიზონტალურ (X მიმართულებით) გადაადგილებათა იზოზონები (გადაადგილებების მნიშვნელობები მოცემულია მეტრებში)



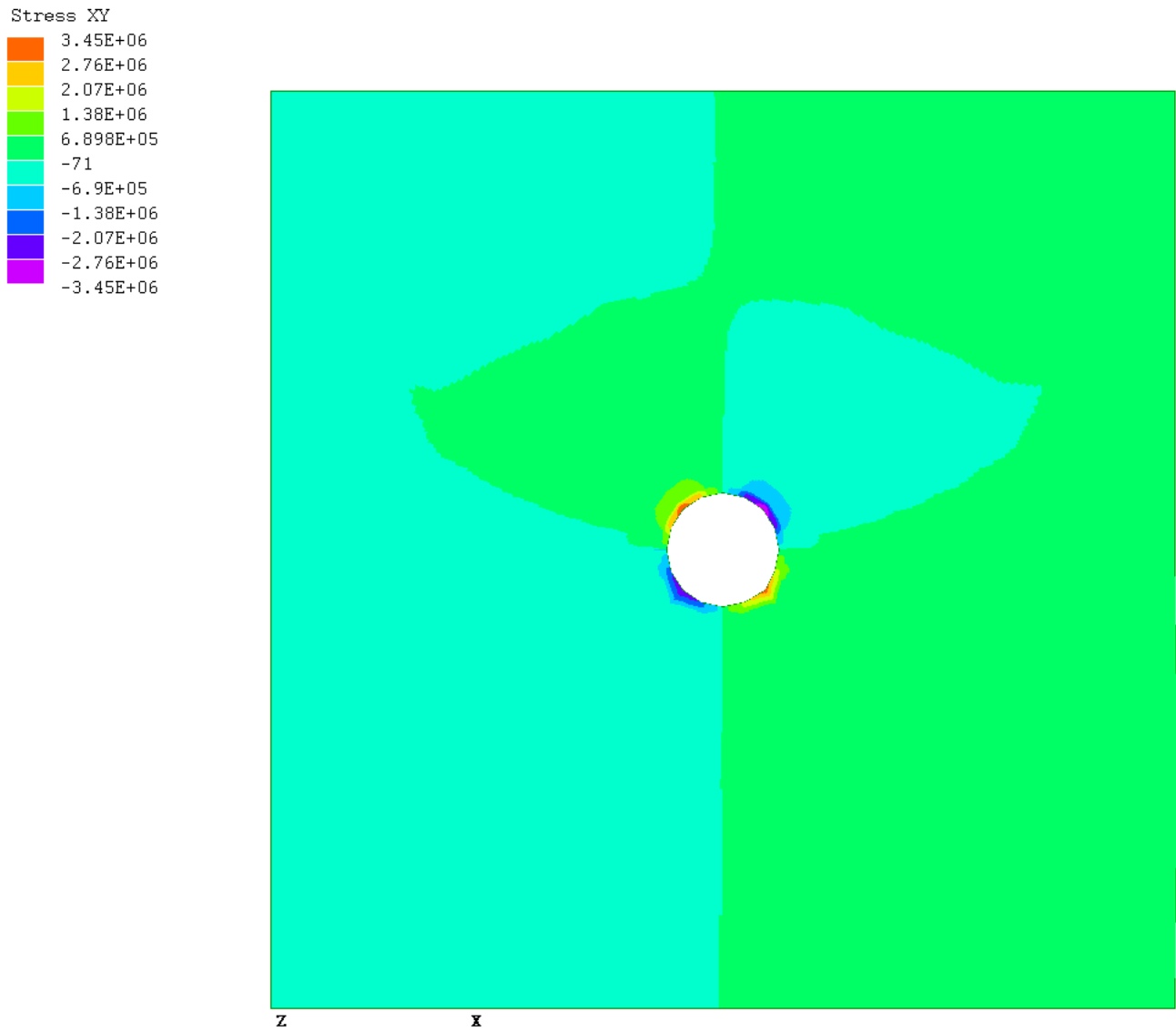
ნახ. 6-4. გვირაბის მოკეთებისა და გარემომცველი მასივის ვერტიკალურ ( Y  
მიმართულებით) გადაადგილებათა იზოზონები (გადაადგილებების  
მნიშვნელობები მოცემულია მეტრებში)



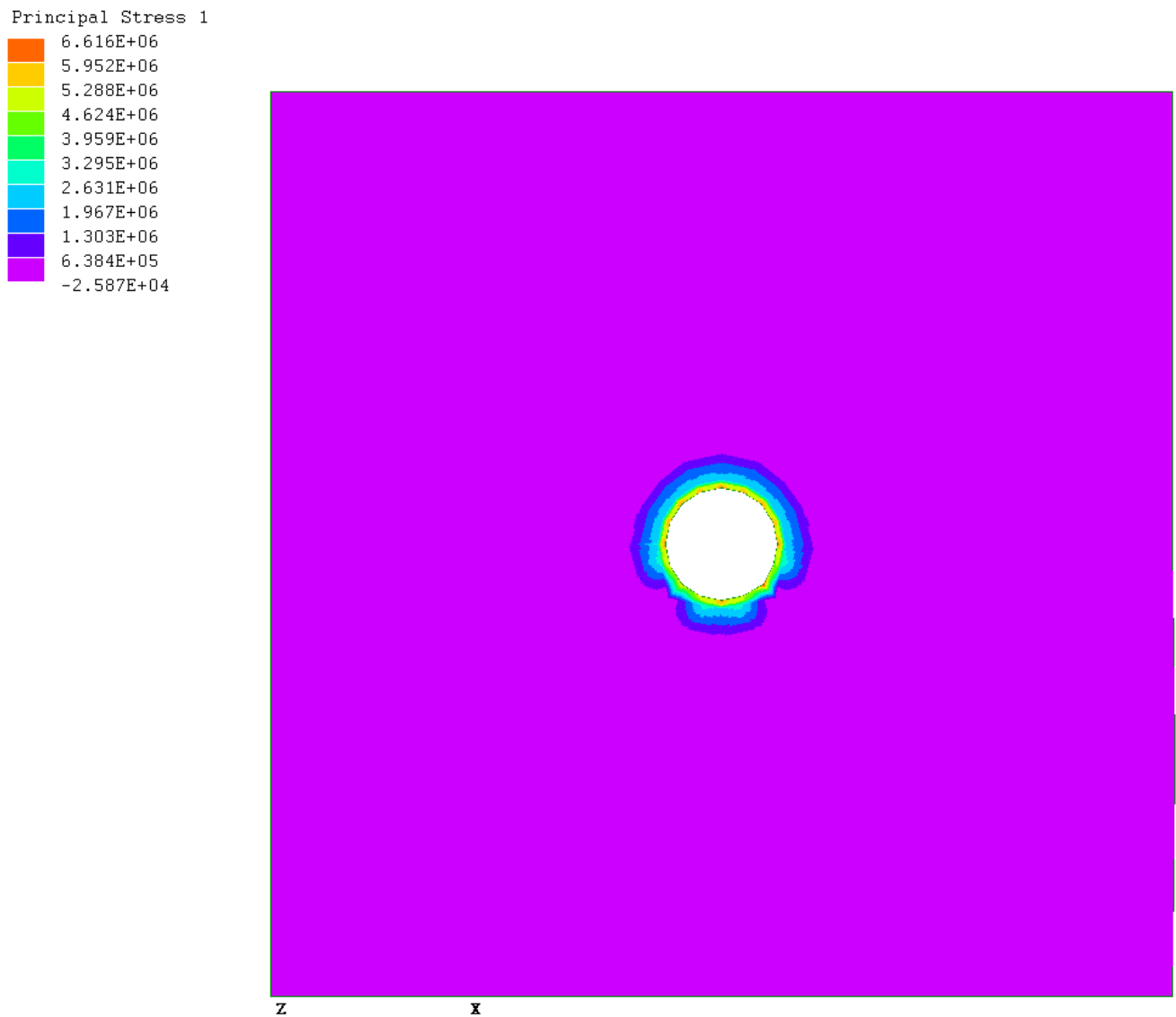
ნახ. 6-5. გვირაბის მოკეთებასა და გარემომცველ მასივში პორიზონტალური  $\sigma_x$  ძაბვების იზოზონები (ძაბვების მნიშვნელობები მოცემულია  $N/\text{მ}^2$  – ზო)



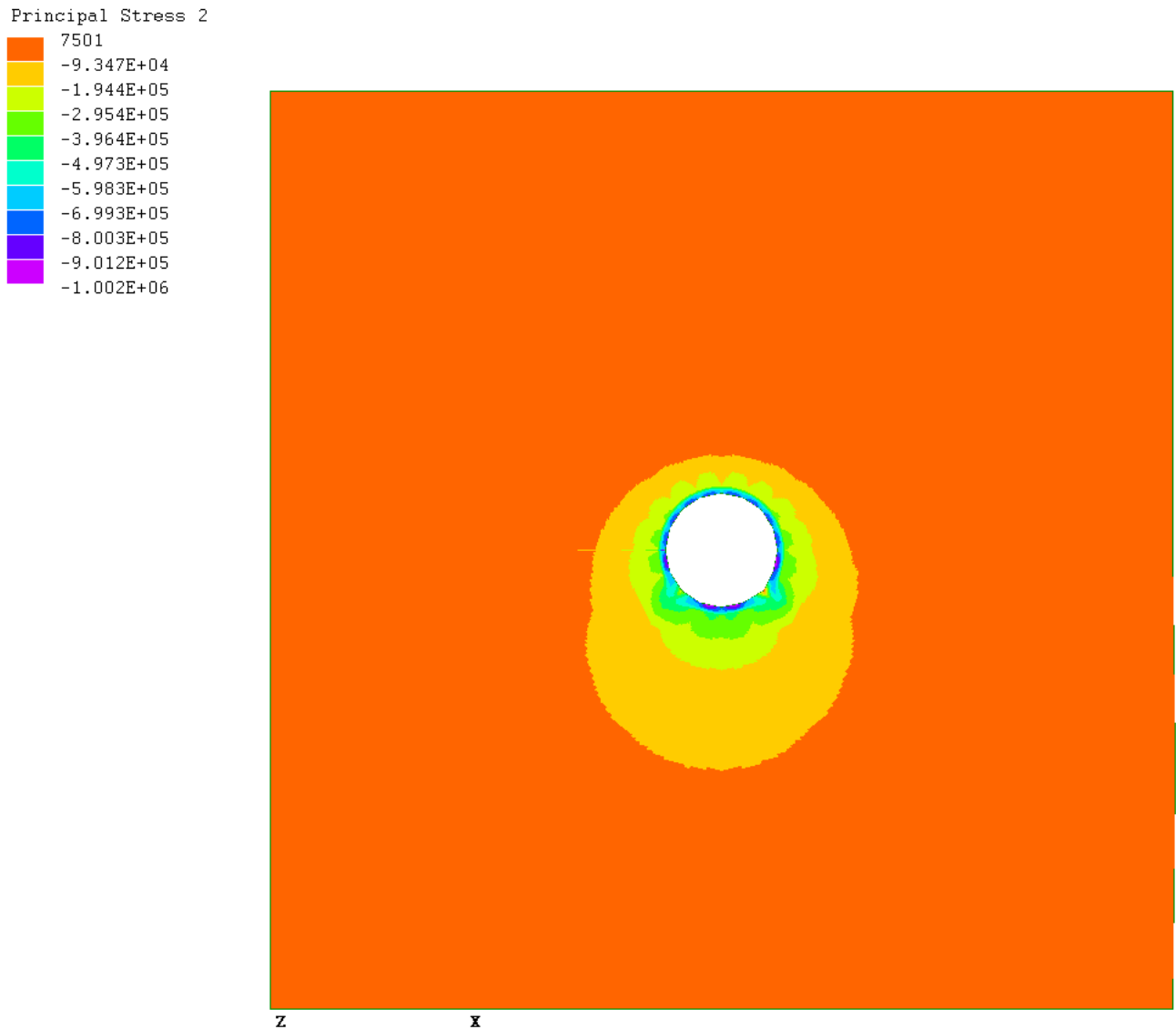
ნახ. 6-6. გვირაბის მოკეთებასა და გარემომცველ მასივში ვერტიკალურ  $\sigma_y$  ძაბვების იზოზონები (ძაბვების მნიშვნელობები  $N/\delta^2$  – ვა)



ნახ. 6-7. გვირაბის მოკეთებასა და გარემომცველ მასივში მხები  $\tau_{xy}$  ძაბვების იზოზონები (ძაბვების მნიშვნელობები  $N/\partial^2 - \text{ძო}$ )



ნახ. 6-8. გვირაბის მოკეთებასა და გარემომცველ მასივში მთავარი  $\sigma_1$  ძაბვების იზოზონები (ძაბვების მნიშვნელობები მოცემულია  $N/\text{მ}^2$  – ში)



ნახ. 6-9. გვირაბის მოკეთებასა და გარემომცველ მასივში მთავარი  $\sigma_2$  ძაბვების იზოზონები (ძაბვების მნიშვნელობები მოცემულია  $N/\vartheta^2$  – ში)

მეოთხე საფეხურის შედეგების ანალიზმაც ნათლად აჩვენა, რომ გვირაბის მოკეთების არცერთი მონაკვეთი, არ განიცდის სახიფათო, არც გამჭიმავი და არც მკუმშავი, ძაბვების ზემოქმედებას. [ შენიშვნა: გადაადგილებული მოცემულია მეტრებში ( $\vartheta$ ), ხოლო ძაბვების მნიშვნელობები - ნიუტონი/ $\vartheta^2$  ( $N/\vartheta^2$ ) – ში. 1 ნიუტონი ( $N$ ) = 0,0001 ტ. ძაბალითობული,  $-1.053E+05N/\vartheta^2 = -10.53 \text{ } \text{N}/\vartheta^2 = -1.053 \text{ } \text{N}/\vartheta^2 = -0.1053 \text{ } \text{N}/\vartheta^2$  ძაბა].

## დასკვნები

1. გვირაბების გაყვანის ნორვეგიული მეთოდი (პროგრესული ნორვეგიული, ახალნორვეგიული), რომელიც წარმოადგენს ახალავსტრიული მეთოდის ნაირსახეობას, გამოირჩევა მაღალი საიმედობით და პროცესის მაღალი ავტომატიზებით. მაღალი საიმედობა განპირობებულია მოკეთების ბეტონში ფიბროელემენტების (ძირითადათ ფიბროფოლადების) დამატებით, რომლებიც საგრძნობლად ზრდიან ბეტონის სიმტკიცის მახასიათებლებს;
2. გვირაბისა და მისი გარემომცველი ქანების დაძაბულ-დეფორმირებული მდგომარეობის ანგარიში შემოთავაზებული მეთოდიკით (ანგარიშებში გვირაბის გაყვანის ყველა ეტაპის მოდელირება მისი გაყვანიდან ექსპლუატაციაში შესვლის ჩათვლით) ჩატარდა მშენებარე მტკვარი ჰესის სადაწნეო დერივაციული გვირაბის მაგალითზე;
3. გვირაბისა და მისი გარემომცველი ქანების დაძაბულ-დეფორმირებული მდგომარეობის ანგარიში ჩატარდა პროგრამულ კომლექს LISA –ს საშუალებით, რომლის თეორიული ალგორითმი ეფუძნება სასრული ელემენტების მეთოდს;
4. გვირაბის მოკეთებისა და გარემომცველი ქანების დაძაბულ-დეფორმირებული მდგომარეობის ანგარიშმა სამთო წნევაზე და მოკეთების საკუთარი წონაზე აჩვენა, რომ გვირაბის მოკეთების არცერთი მონაკვეთი არ განიცდის სახიფათო გამჭიმავი და მკუმშავი ძაბვების ზემოქმედებას. ეს განაპირობა მოკეთებაში გამოყენებული ფიბრობეტონის სიმტკიცის მაღალმა მაჩვენებლებმა, განსაკუთრებით კი გაჭიმვაზე გაზრდილმა სიმტკიცის ზღვარმა ( $250 - 330 \text{ კგ/სმ}^2$ );
5. გვირაბის მოკეთებისა და გარემომცველი ქანების დაძაბულ-დეფორმირებული მდგომარეობის ანგარიშმა დატვირთვის სრულ კომპლექსზე (მოკეთების საკუთარი წონა, სამთო წნევა და ჰიდროსტატიკური დაწნევა) ნათლად აჩვენა, რომ გვირაბის მოკეთების არცერთი მონაკვეთი არ განიცდის სახიფათო გამჭიმავი და მკუმშავი ძაბვების ზემოქმედებას;

6. ჩატარებული კვლევების შედეგებმა დაადასტურა გვირაბების გაყვანის ნორვეგიული მეთოდის საიმედობა და მისი გამოყენების მიზანშეწონილება საქართველოს პირობებში.

ლ ი ტ ე რ ა ტ უ რ ა

1. Строительные нормы и правила, Туннели гидротехнические, СНиП 2.06.09-84, Государственный комитет ССР по делам строительства, М.1985
2. L.v.Rabcewicz, The New Austrian Tunneling Method (Part 1), *Water Power*, v16, #11, pp. 453-457, November, 1964
3. www.maccaferri.ie – website of Maccaferri Ltd (United Kingdom);
4. Barton, N.R.; Lien, R.; Lunde, J. (1974). "Engineering classification of rock masses for the design of tunnel support". *Rock Mechanics and Rock Engineering*, Springer, 6 (4): 189–236.
5. Mtkvari HPP, Project Presentation, June, 2011 ([http://cei.ge/data/file\\_db/Presentation/Mtkvari%20HPP%20Project%20Presentation%20June%202011\\_G-IPf2SfxK.pdf](http://cei.ge/data/file_db/Presentation/Mtkvari%20HPP%20Project%20Presentation%20June%202011_G-IPf2SfxK.pdf))
6. Руководство по проектированию гидротехнических туннелей. Гидропроект им. С.Я.Жука, М.1982
7. mowoneliZe n., hidroteqnikuri nagebobebi, nawili II, “ganaTleba”, Tbilisi, 1982, 375 gv.
8. Brown, R., Shukla, A., and K.R. Natarajan, K.R., Fiber Reinforcement of Concrete Structures, *University of Rhode Island*, September 2002